





Departamento de Ingeniería Hidráulica

# TRABAJO DE DIPLOMA

Diseño de la red de alcantarillado de los repartos Ciudamar y Monterrey.

Autor: Elianys Cárdenas Martínez

Tutor: Lic. Mirely Gonzáles García







Academic Departament of Hydraulic Engineering

# **DIPLOMA THESIS**

Design of the sewerage network of the Ciudamar and Monterrey distributions.

Author: Elianys Cárdenas Martínez

Thesis: Lic. Mirely Gonzáles García

Santa Clara , June, 2019 Copyright©UCLV Este documento es Propiedad Patrimonial de la Universidad Central "Marta Abreu" de Las Villas, y se encuentra depositado en los fondos de la Biblioteca Universitaria "Chiqui Gómez Lubian" subordinada a la Dirección de Información Científico Técnica de la mencionada casa de altos estudios.

Se autoriza su utilización bajo la licencia siguiente:

Atribución- No Comercial- Compartir Igual



Para cualquier información contacte con:

Dirección de Información Científico Técnica. Universidad Central "Marta Abreu" de Las Villas. Carretera a Camajuaní. Km 5½. Santa Clara. Villa Clara. Cuba. CP. 54 830

Teléfonos.: +53 01 42281503-1419

## **DEDICATORIA**

Dedico este trabajo de diploma a toda mi familia, en especial a mi madre Midoris Martínez Días por estar conmigo en el transcurso de estos 5 años de carrera, creo que sin ella jamás habría logrado emprender el camino y ser la persona que soy; a mi padre, por el apoyo incondicional, a mi novio, por estar conmigo en los buenos y malos momentos, a mis tutores por ser guía de mis ideas, en fin, a todos los que me brindaron una mano cundo la necesité.

#### **AGRADECIMIENTOS**

Quiero agradecer a toda mi familia y a todas esas personas que de una forma u otra han estado presente en el transcurso de mi carrera, en especial a:

Mis padres Midoris y Francisco, por su amor incondicional.

Mis tíos Yareli y Dany, que me ayudaron en todo momento.

Mis primas Yaimi y Daniela por darme apoyo a seguir adelante

Mis abuelos Ramona y Angel, por ser protectores y siempre escucharme.

Mi novio Danny, por apoyarme en todo momento.

Mis tutoras Mirely y Lumey, por la paciencia y dedicación.

Mis amigas del cuarto que durante estos cinco años fueron parte de mi familia, en especial a Fadia y Lianet que como las hermanas que no tuve.

Al claustro de profesores que me brindaron sus conocimientos y experiencia profesional.

#### **RESUMEN**

El objetivo fundamental de la presente investigación es diseñar el sistema de alcantarillado para los repartos Ciudamar y Monterrey, para evacuar las aguas residuales sanitarias, teniendo en cuenta parámetros hidrológicos, topográficos y geológicos característicos de la zona. Para el diseño de la red, se emplea el programa SewerUp el cual permite obtener resultados óptimos en cuanto a pendientes, diámetros y excavaciones, obteniendo planos definitivos para la ejecución de la obra. Se diseñaron dos variantes las cuales dan solución al problema planteado y se realiza una comparación técnica y económica de las mismas.

#### **ABSTRACT**

The main objective of the present investigation is to design the sewer system for the Ciudamar and Monterrey distributions, to evacuate sanitary wastewater, taking into account hydrological, topographic and geological parameters characteristic of the area. For the design of the network, the SewerUp program is used which allows obtaining optimal results in terms of slopes, diameters and excavations, obtaining definitive plans for the execution of the Word. Two variants were designed which provide a solution to the problem and a technical and economic comparison of them is made.

## **TABLA DE CONTENIDOS**

| DEDICATORIA  | i    |
|--|------|
| AGRADECIMIENTOS  | ii   |
| RESUMEN  | iii  |
| INTRODUCCIÓN   | 1    |
| CAPÍTULO 1. REVISIÓN BIBLIOGRÁFICA Y ESTUDIO DE ANTECEDENTES                     | 5    |
| 1.1. Generalidades sobre el alcantarillado                                       | 5    |
| 1.1.1 Modelos de Configuración de Alcantarillados                                | 9    |
| 1.2. Softwares y regulaciones para el diseño de Sistemas de Alcantarillado       | . 12 |
| 1.2.1 Descripción de Softwares para diseño y modelación de alcantarillado        | . 12 |
| 1.2.2 Normas y regulaciones presentes en el diseño de alcantarillado             | . 17 |
| 1.3. Características físico – geográficas de los repartos Ciudamar y Monterrey   | . 18 |
| CAPÍTULO 2. MATERIALES Y MÉTODOS   | . 20 |
| 2.1. Datos iniciales para el cálculo   | . 20 |
| 2.2. Diseño de la red con el empleo del software SewerUp                         | . 22 |
| CAPITULO 3. RESULTADOS DE LA INVESTIGACIÓN                                       | . 32 |
| 3.1. Resultados de las variantes   | . 32 |
| 3.2. Comparación técnica de las variantes de diseño de la red de alcantarillado. | . 33 |
| 3.3 Comparación económica de las variantes de diseño de la red de alcantarillado | .ok  |
|  | . 34 |
| CONCLUSIONES Y RECOMENDACIONES   | . 36 |
| Conclusiones   | . 36 |
| Recomendaciones  | . 36 |
| REFERENCIAS BIBLIOGRÁFICAS   | . 37 |

| BIBLIOGRAFÍA |                               |
|--------------|-------------------------------|
| ANEXOS       |                               |
| ANEXOS       | ¡Error! Marcador no definido. |

# **INTRODUCCIÓN**

En todo proceso de transformación encaminado a mejorar el nivel de vida de los habitantes de determinada región, juegan un papel importante las políticas de desarrollo, que tienen por objetivo promover un cambio positivo en el modo de vida de los pueblos. Entre los proyectos que contribuyen a realizar estos cambios en las comunidades, están aquellos destinados a satisfacer las necesidades básicas de cada uno de sus pobladores. (Campos, 2009)

El alcantarillado se considera uno de los servicios básicos en cualquier ciudad del mundo. Las primeras redes de alcantarillado se crearon para evacuar el agua de la lluvia, junto con el crecimiento poblacional y el elevado índice de enfermedades surgió la necesidad de evacuar el residual doméstico.

El acceso a un saneamiento adecuado urbano y rural es condición imprescindible para lograr una mejor calidad de vida, incluida la protección a la salud y a la calidad de las aguas terrestres. En general, el saneamiento se aplica mediante la colección y disposición de las aguas residuales utilizando redes de alcantarillado, fosas sépticas, letrinas sanitarias y sistemas de tratamiento mediante plantas tradicionales o compactas y lagunas de estabilización.(INRH, 2017)

El alcantarillado más antiguo del cual se tiene referencia fue construido en Nippur (India) alrededor del año 3750 A.C. Existen diferentes relatos y descripciones de las alcantarillas de la antigüedad, quizás las más conocidas sean las de la antigua Roma, de París y de Londres, estas se dirigían fundamentalmente a la recolección de las aguas de lluvia. Las aguas usadas por los humanos comenzaron a ser conectadas a las alcantarillas en 1815 en Londres, en Boston a partir de 1833, y en París, solo a partir de 1880.

El primer sistema moderno de alcantarillado se diseñó en Hamburgo en 1842, en el cual se utilizaron las más modernas teorías de la época, se tuvo en cuenta las condiciones topográficas y las necesidades reales de la comunidad. Este hecho significó un espectacular avance, los principios fundamentales en que se basó el

proyecto no se generalizaron hasta inicios de los 1900, y siguen vigentes en la actualidad.

En Cuba la cobertura de alcantarillado resulta baja inclusive en el sector urbano, donde predominan las fosas sépticas como forma válida de disposición final de los residuales, siempre que la construcción de las mismas cumpla con las normas técnicas para su ejecución, lo que en la práctica no siempre se cumple.

Del volumen de residuales evacuado a través de los sistemas de alcantarillado existentes, sólo recibe tratamiento antes de su disposición al medio el 32%. Esto se realiza mediante algunas plantas y sobre todo a través de lagunas de estabilización cuya explotación y mantenimiento es inestable, el mal funcionamiento de estos sistemas está generalizado en todos los organismos, constituyendo un riesgo para la salud humana y ambiental. (INRH, 2017)

Además de su insuficiencia, la mayoría de los sistemas de alcantarillado existentes en el país están urgidos de acciones de rehabilitación y de elevar los niveles de mantenimiento. Para la solución de las obstrucciones que frecuentemente presentan estos sistemas por insuficiente diámetro, el paso del tiempo y la carga que reciben, se cuenta con un escaso parque de equipos y herramientas especializadas para los mantenimientos manuales. (INRH, 2017)

En el caso específico de la capital del país existen diferentes problemas con el alcantarillado sanitario, uno de los municipios que se encuentra afectado es San Miguel del Padrón en el cual se lleva a cabo diferentes labores de rehabilitación y nuevos diseños. Los repartos Ciudamar y Monterrey, pertenecientes a este municipio, vierten sus residuales crudos al río Martín Pérez el cual posee como destino final la bahía de La Habana.

Debido a las características de la Bahía de ser un entorno de agua cerrada el agua no se renueva fácilmente con el agua del mar. La contaminación originada de las aguas residuales de los hogares e industrias se descargan en la Bahía sin un tratamiento adecuado, y se produce la suciedad que se acumula en el fondo del mar. En los últimos años la calidad del agua de la Bahía ha empeorado y los niveles de nutrientes son lo suficientemente altos para mostrar un fenómeno de eutroficación. (JICA, 2004)

Como parte del saneamiento de la bahía de La Habana y para evitar los efectos nocivos de los vertimientos de residuales sin tratamiento a esta, se rehabilitan, diseñan y construyen diferentes redes de alcantarillado en función de disminuir la carga contaminante de los residuales.

La presente investigación posee como **Objeto de estudio** el Diseño de obras hidráulicas y como **Campo de investigación** el Diseño de las redes de alcantarillado.

## Problema de investigación

La calidad del residual aportado por los repartos Ciudamar y Monterrey no cumple con lo establecido en la norma cubana 27:1999 sobre vertimiento de aguas residuales a las aguas terrestres y al alcantarillado, lo que trae consigo un alto grado de carga contaminante que tributa al río Martín Pérez, el cual posee como destino final la bahía de La Habana.

El **objetivo general** en el que se sustentará la investigación será proponer un sistema de alcantarillado para los repartos Ciudamar y Monterrey a partir de un diseño óptimo de la red que permita disminuir la carga contaminante que tributa al río Martín Pérez.

Como solución adelantada a este problema se tiene la siguiente **hipótesis**: Si se realiza el diseño óptimo de la red de alcantarillado de los repartos Ciudamar y Monterrey, con ayuda del programa SewerUp a partir de lo establecido en las normas cubanas, se contará con una propuesta que garantice mayor satisfacción a la población y cumpla con los requerimientos medioambientales.

## Como objetivos específicos los siguientes:

- 1. Delimitar el estado del arte referido al tema de investigación.
- Caracterizar demográficamente la zona de estudio (repartos Ciudamar y Monterrey).
- 3. Determinar el software a utilizar en el diseño.
- 4. Determinar los datos iniciales para el cálculo.

## Valor práctico de la investigación:

Se pondrá en manos de los proyectistas el diseño de ingeniería básica con los elementos fundamentales para poder realizar el proyecto ejecutivo de la red de alcantarillado de los repartos Ciudamar y Monterrey.

## Capítulo 1: Revisión bibliográfica y estudio de antecedentes.

En este capítulo se hace una búsqueda y recopilación de la bibliografía directa o indirectamente relacionada con el tema de estudio, referente a los antecedentes existentes sobre el tema de investigación.

## Capítulo 2: Materiales y métodos.

En este capítulo se propone el diseño de la red de alcantarillado de los repartos Ciudamar y Monterrey a partir de la topografía correspondiente, realizado con ayuda del programa SewerUp y lo establecido en las normas cubanas.

## Capítulo 3: Resultados de la investigación.

En este capítulo se evalúan los resultados obtenidos en el capítulo anterior.

Para el logro de esta investigación se trazaron las siguientes tareas de investigación:

- Selección del software a emplear
- Obtención de los datos topográficos
- Obtención de os datos para el calculo

# CAPÍTULO 1. REVISIÓN BIBLIOGRÁFICA Y ESTUDIO DE ANTECEDENTES.

En el desarrollo de las localidades urbanas, sus servicios en general se inician con un precario abastecimiento de agua potable y van satisfaciendo sus necesidades con base en obras escalonadas en bien de su economía. Como consecuencia se presenta el problema del desalojo de las aguas servidas o aguas residuales. Se requiere así la construcción de un sistema de alcantarillado sanitario para conducir las aguas residuales que produce una población a su destino final. (Agua, 2007)

## 1.1. Generalidades sobre el alcantarillado.

## Concepto y definición

La Organización Panamericana de la Salud, 2005, define que un sistema de alcantarillado es un conducto de servicio público cerrado, destinado a recolectar y transportar aguas residuales que fluyen por gravedad libremente bajo condiciones normales. (Salud, 2005)

El alcantarillado funciona por efecto de la gravedad. Las tuberías se conectan en ángulo descendente, desde el interior de los predios a la red pública, desde el centro de la comunidad hacia el exterior de la misma. Cada cierta distancia se debe construir pozos de registro verticales para permitir el acceso a la red con fines de mantenimiento. (Agua, 2007)

Los sistemas de alcantarillado se encargan de conducir las aguas de desecho y pluviales captadas en los sitios de asentamiento de las conglomeraciones humanas para su disposición final. (CEDEX, 2007)

#### Descripción e importancia del alcantarillado

Según refiere la Comisión Nacional del Agua (CNA), 2007, en la mayoría de las ciudades se tiene la necesidad de desalojar el agua de lluvia para evitar que se inunden las viviendas, los comercios, las industrias y otras áreas de interés. Además, el hombre requiere deshacerse de las aguas que han servido para su aseo y consumo. (Agua, 2007)

Para abastecer de agua a las poblaciones, se cuentan con tecnologías para la captación, almacenamiento, tratamiento y distribución del agua mediante complicados sistemas de conducción y obras complementarias. Sin embargo, una vez que las aguas procedentes del abastecimiento son empleadas en las múltiples actividades humanas, son contaminadas con desechos orgánicos, inorgánicos y bacterias patógenas. Después de cierto tiempo, la materia orgánica contenida en el agua se descompone y produce gases con olor desagradable, además, las bacterias existentes en el agua causan enfermedades. La disposición o eliminación de las aguas de desecho o residuales debe ser atendida convenientemente para evitar problemas de tipo sanitario. (Agua, 2007)

## Tipos de sistemas de evacuación

Los sistemas de evacuación se construyen según dos sistemas típicos:

1. El combinado, unitario o de canalización única.

Según el sistema combinado el alcantarillado recoge todas las aguas tanto las domésticas, industriales y las de infiltración subterránea, como las pluviales, mediante un conducto único como se muestra en la figura 1.1.



Figura 1.1. Sistema combinado, unitario o de canalización única, (tomada de internet)

2. El separativo, separado o de canalización doble.

En el sistema separativo existe una red que recoge sólo las aguas residuales domesticas e industriales mientras que el agua de lluvia será recolectada por otra red de conductos independientes como se muestra en la figura 1.2.

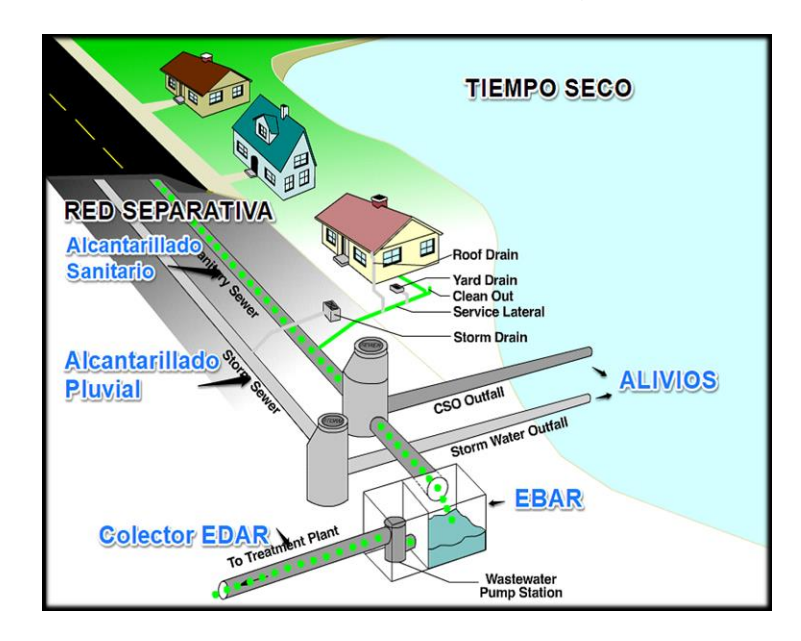


Figura 1.2. Sistema separativo, separado o de canalización doble, (tomada de internet)

El sistema de alcantarillado sanitario está constituido por obras para:

- Captación o recolección de residuos líquidos.
- Transporte o conducción.
- Tratamiento (si fuera necesario).
- Disposición final (ver figura 1.3).

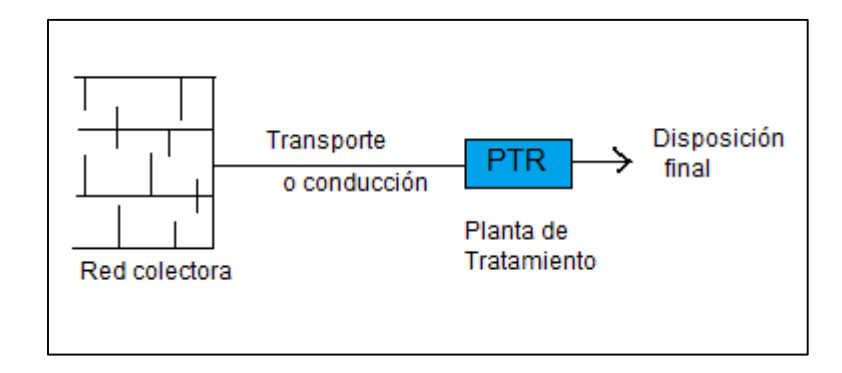


Figura 1.3. Componentes de un sistema de alcantarillado sanitario. (elaboración propia)

## Tipos de conductos:

Los conductos que forman los sistemas de evacuación van variando sus dimensiones de menor a mayor en la medida en que nos alejamos del inicio. Estos conductos son típicos y para un sistema de alcantarillado sanitario son los siguientes:

## a) Entronques

Es el conducto que recoge el albañal desde el sistema de plomería de un edificio o inmueble y lo conduce hasta el conducto correspondiente en la calle.

## b) Laterales

Se denomina lateral al conducto de la calle que recibe los aportes del albañal de varios entronques domiciliarios. El diámetro mínimo en ellos será de 200 mm, con una pendiente mínima tal que garantice velocidades en el flujo que impidan la sedimentación de sólidos en el sistema (velocidades autolimpiantes).

## c) Cloacas secundarias.

Son aquellas que reciben los aportes de dos o más laterales. El diámetro mínimo es también 200 mm, manteniendo las velocidades autolimpiantes.

#### d) Cloacas maestras o principales.

Son los que reciben el aporte de dos o más cloacas secundarias. También el diámetro mínimo es de 200 mm y la pendiente mínima debe garantizar las velocidades autolimpiantes.

#### e) <u>Inceptoras o colectores</u>

Las cloacas inceptoras son aquellas que reciben los aportes de varias maestras principales. Por lo general son cloacas de mayor tamaño, colocadas paralelas a los cursos naturales de agua o de drenaje y desagüe.

## f) Cloacas de reboso o aliviaderos.

Se denomina así a las cloacas que conducen los aportes en exceso a las capacidades de los conductos del sistema o en caso de emergencia.

Consisten en conductos relacionados con vertederos que comienzan a funcionar en cuanto el volumen de las aguas o el nivel del gasto ordinario ha sido elevado a valores predeterminados.

## g) Emisarios

Los emisarios son cloacas de gran tamaño que recogen el aporte total del sistema colector de una o varias cuencas y lo conducen a la planta de tratamiento o al punto de disposición final.

## 1.1.1 Modelos de Configuración de Alcantarillados.

## Modelos de configuración de atarjeas.

No existe una regla general para el trazo de una red de alcantarillado, ya que se debe ajustar casi siempre a la topografía de cada lugar. A continuación, en las figuras 1.4 y en la tabla 1.1se presentan algunos tipos de trazos que pueden ser utilizados como guías:

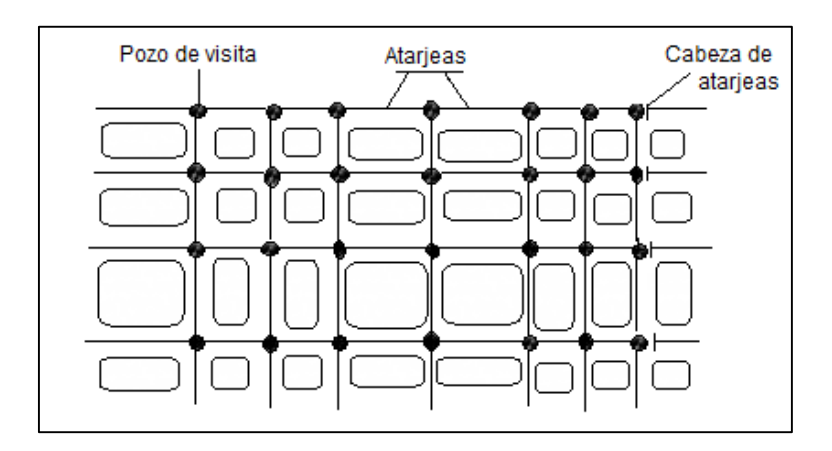


Figura 1.4. Trazo de la red de atarjeas en bayoneta. (Autor)

Tabla 1.1 Ventajas y desventajas de los modelos de configuración de atarjeas.

| Tipos de trazos   | de trazos Descripción Ventajas   |   | Desventajas   |  |
|-------------------|--|---|---|--|
| Trazo en bayoneta | Inicia en una cabeza o inicio de atarjea, tiene un desarrollo en zigzag o en escalera.   | Reduce el número de cabezas de atarjeas, permite un mayor desarrollo de las atarjeas, logra aprovechar adecuadamente la capacidad de cada uno de los conductos.   | El trazo requiere<br>de terrenos con<br>pendientes más o<br>menos estables y<br>definidas.  |  |
| Trazo en peine    | Se forma cuando existen varias atarjeas con tendencia al paralelismo, empiezan su desarrollo en una cabeza de atarjea descargando su contenido en una tubería común de mayor diámetro perpendicular a ellas. | Garantiza aportaciones rápidas y directas de las cabezas de atarjeas a la tubería común de cada peine, y de estas a los colectores.  Se tiene una amplia gama de valores para las pendientes de las cabezas de atarjeas, que resulta útil en el diseño cuando la topografía es muy irregular. | Corto desarrollo que tienen las atarjeas iniciales antes de descargar a un conducto mayor, trabajan por debajo de su capacidad, ocasionando que se desaproveche parte de dicha capacidad. |  |
| Trazo combinado   | Corresponde a una combinación de los dos trazos anteriores y a trazos particulares obligados por los accidentes topográficos de la zona.   |   |   |  |

## Modelos de configuración para Colectores, Interceptores y Emisores.

Para recolectar las aguas residuales de una localidad, se debe seguir un modelo de configuración de bayoneta, peine o combinado para el trazo de los colectores, interceptores y emisores el cual fundamentalmente depende de:

- a) La topografía predominante.
- b) El trazo de las calles.
- c) El o los sitios de vertido.
- d) La disponibilidad de terreno para ubicar la planta o plantas de tratamiento.

## Diferencias entre el saneamiento en zonas rurales y en zonas urbanas.

Se presenta la siguiente tabla con características de estas zonas:

Tabla 1.2 Características entre zonas rurales y zonas urbanas.

| Zonas urbanas                             | Zonas rurales                             |
|---|---|
| Densidades altas de población. Muchas     | Densidades bajas de población. Pocas      |
| personas en espacios reducidos.           | personas por kilómetros cuadrados o       |
|   | hectáreas.                                |
| Viviendas continuas generalmente en       | Distancias largas entre viviendas         |
| Residenciales o Urbanizaciones            | inclusive llegando a alcanzar varios      |
| horizontales o verticales.                | kilómetros.                               |
| Costos de espacios y terrenos altos.      | Costos de espacios y terrenos bajos.      |
| Metro cuadrado de construcción de alto    | Metro cuadrado de construcción            |
| precio.                                   | generalmente de bajo precio.              |
| Aguas residuales ordinarias en viviendas  | Aguas residuales ordinarias en viviendas  |
| o industriales en algunos casos.          | o agrícolas con alta carga de materia     |
|   | orgánica.                                 |
| Alta disponibilidad de servicios técnicos | Baja disponibilidad de servicios técnicos |
| especializados.                           | especializados.                           |

La densidad de población y distancia entre viviendas es quizá la principal razón de elección de un sistema de saneamiento. Una densidad baja con distancias largas entre viviendas aumenta en gran medida el costo de la construcción y mantenimiento de un alcantarillado sanitario. Esto por lo general también incluye una gran cantidad de terrenos que no tienen construcción encima por lo cual un sistema de tratamiento individual con drenaje se vuelve atractivo. (Capacitación ASADA)

En contraparte, una densidad de población alta significa que varias personas viven muy cercanas unas a otras, esto hace que el costo del alcantarillado sanitario se vuelva atractivo al no cubrir largas distancias. Sin embargo, en esta condición se da una escasez de terreno sin construcción, razón por la cual NO se recomienda construir sistemas de saneamiento individual por vivienda. (Capacitación ASADA)

Otros factores como el tipo de agua residual o la disponibilidad de servicios técnicos pueden influir en la escogencia de un sistema de saneamiento. Es común encontrar en proyecto agrícolas sistemas de tratamiento colectivos anaeróbicos por las condiciones de carga del agua residual. En estos proyectos se dan grandes cargas de agua residuales en periodos de tiempo irregulares a lo largo del año. En el caso de aguas industriales, estas presentan una gran cantidad de sustancias químicas que no son fácilmente tratables por sistemas convencionales, por lo cual requieren de procesos químicos que generalmente son añadidos a los sistemas de saneamiento. (Capacitación ASADA)

## 1.2. Softwares y regulaciones para el diseño de Sistemas de Alcantarillado.

# 1.2.1 Descripción de Softwares para diseño y modelación de alcantarillado.

A partir del desarrollo tecnológico actual se han ido presentando una gran variedad de softwares que optimizan el diseño y modelación de alcantarillados, a continuación, se presentaran algunos ejemplos de estos programas.

#### Akua

Es un software para diseño de redes de alcantarillado sanitario y drenaje pluvial. Sirve tanto para realizar nuevos diseños, como para modelar sistemas existentes. En tiempos mínimos se pueden obtener diseños óptimos y planos definitivos listos para la

ejecución de la obra, no complica al proyectista con excesivas variables y opciones, sino que asume las tecnologías, unidades de medida y formulaciones comúnmente empleadas y automatiza gran parte de los procesos de entrada de datos (ver figura 1.5).



Figura 1.5. Software Akua.

#### **HYDRA**

Es un software para el análisis de sistemas de alcantarillados municipales. Puede modelar tuberías existentes, así como diseñar nuevas tuberías, define parámetros de diseño como: rangos de pendientes admisibles, relaciones d/D, velocidades de flujo y profundidades.

Brinda resultados que le permiten optimizar las políticas operativas actuales y futuras de su sistema de alcantarillado, mejorando la capacidad hidráulica. Identifica las zonas de baja capacidad del sistema. Tiene una gran integración con Sistemas de Información Geográfica permitiendo intercambiar datos con productos AutoCAD de AutoDesk (DWG) entre otros (ver figura 1.6).



Figura 1.6. Software HYDRA.

# **APyS**

Alcantarillado pluvial y sanitario, es una novedosa y potente herramienta para el ingeniero civil especializado en el área sanitaria, que ofrece un eficiente sistema de cálculo de redes de alcantarillado pluvial y/o sanitario (ver figura 1.). Este programa se ajusta a la norma RAS2003, además facilita la introducción de datos, libera de gran cantidad de cálculos matemáticos como la capacidad y cotas de cada uno de los colectores.



Figura 1.7. Software APyS.

#### **CIVIL ADS**

Módulo para análisis y diseño de redes de drenaje sanitario y pluvial urbano. Contiene extensa ayuda en español y rutinas útiles para el cálculo geométrico y cuantificación de elementos de redes de alcantarillado (ver figura 1.8).

Analiza redes sanitarias mediante método de Harmon, obtiene volúmenes de obra en excavaciones y relleno, optimiza dímetros de tuberías.

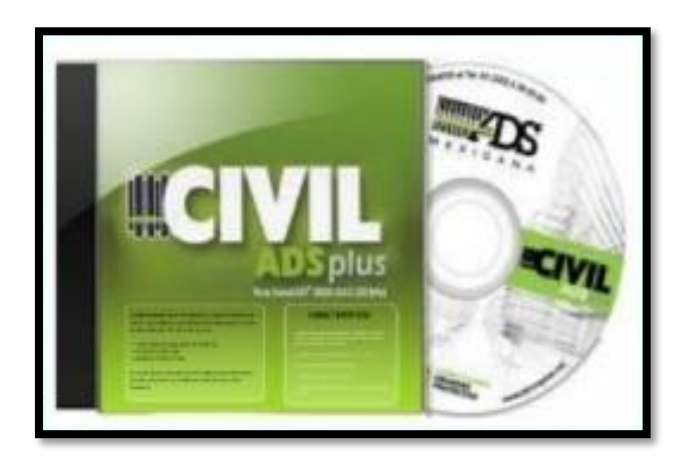


Figura 1.8. Software Civil ADS.

#### **ALCONW**

Es un programa de computación que realiza Diseños y Simulaciones del comportamiento hidráulico de redes de Alcantarillado Sanitario.

Este programa cuenta con diversas utilidades que le permiten al usuario incorporar la información básica de la red desde archivos de Exel, generar planos, tanto en platas como en perfiles de la red, facilita la estimación de cantidades de obras, genera reportes de resultados completamente compatibles con Exel.

No tiene límite en cuanto al tamaño de la red que puede procesarse, las condiciones hidráulicas de la red se calculan mediante las fórmulas de Manning (ver figura 1.9).



Figura 1.9. Software AlconW.

#### **SEWERUP**

Es un software para diseño de redes hidráulicas, fácil de usar, dispone de todas las prestaciones profesionales posible. Ha sido concebido para ser de uso intuitivo y sencillo (ver figura1.10).

Sirve tanto para realizar nuevos diseños de sistemas de alcantarillado, como para modelar sistemas existentes. En tiempos mínimos se pueden obtener diseños óptimos y planos definitivos listos para la ejecución de la obra.

Para la realización de este trabajo se utilizará este programa ya que el mismo es un software libre, fácil de manejar entre todos los demás, con muchas facilidades de modelación del alcantarillado y resultados muy útiles, además se utiliza en la Empresa de Investigaciones y Proyectos Hidráulicos Villa Clara.

El programa permite, además:

- Lectura de base cartográfica en formato vectorial (dxf, shp) o raster (jpg, bmp)
- Distribución visual de los nodos y tramos.
- Dibujo de mapas planimétricos y curvas de nivel.
- Cálculo automático de longitudes, áreas y gastos.
- Diseño óptimo de las pendientes y diámetros.
- Vistas en Zoom, Paneos y 3D.

- Cálculo de los volúmenes de obra.
- Resultados tabulados en Excel.
- Dibujo de planta general y perfiles en AutoCAD.
- Posibilidad de trabajar con varios subsistemas al mismo tiempo.
- Facilidades para la simulación de redes existentes.



Figura 1.10. Software SewerUp

#### 1.2.2 Normas y regulaciones presentes en el diseño de alcantarillado.

En los países donde se diseñan redes y sistemas de alcantarillado existen diversas normas y regulaciones por las cuales se rigen las entidades y personas encargadas de estos diseños. En Cuba también existen estas normas que brindan importantes datos y especificaciones para tener en cuenta en los diseños. La normas y regulaciones que se usan para el diseño de sistemas de alcantarillado son:

NC 1239: 2018 Especificaciones para el diseño y construcción de alcantarillado sanitario y drenaje pluvial urbano.

NC 27: 1999 Vertimiento de aguas residuales a las aguas terrestres y al alcantarillado. Especificaciones.

Procedimiento de alcantarillado sanitario 201 – PRO – 04 Revisión 4. EIPH.VC

Regulación de Proyecto de Alcantarillado Sanitario y Drenaje Pluvial Urbano RP No. 1087.

Resolución No 204: 2014 Reglamento de Seguridad y Salud en el trabajo para la construcción civil y montaje.

RC-3104: 1989 Ejecución de obras, pruebas parciales de presión y fuga de tuberías en obras

RC-3005: 1981 Movimiento de tierra, excavaciones para zanjas.

RC-3010: 1981 Movimiento de tierra, rehínchos en zanjas para conductos y cimentaciones.

## 1.3. Características físico – geográficas de los repartos Ciudamar y Monterrey.

El Municipio San Miguel del Padrón, al cual pertenecen los repartos Ciudamar y Monterrey se ubica geográficamente al Sur- sureste de la Bahía de La Habana. El área norte se debate entre los ríos Luyanó y Martín Pérez que desembocan en la ensenada de Guanabacoa, de la propia bahía. Tiene una extensión territorial de 25,7 kilómetros cuadrados. Es el séptimo municipio en superficie y el sexto más poblado (ver figura 1.11).

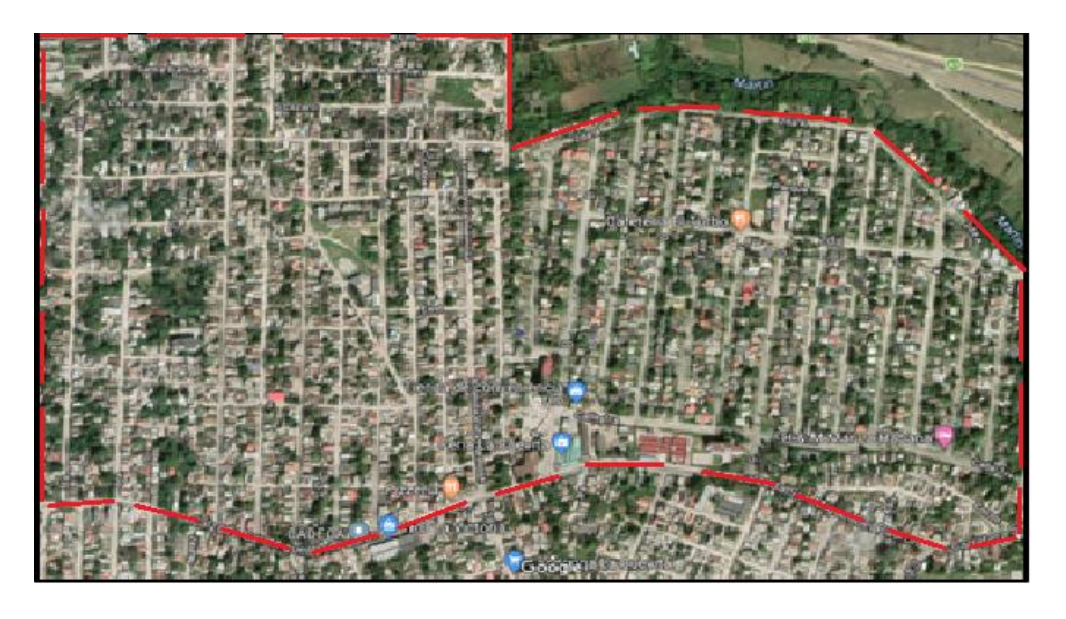


Figura 1.11. Vista aérea de los repartos Ciudamar y Monterrey.

#### Relieve.

El relieve en la zona es semi ondulado. El municipio forma parte del contexto geográfico de Occidente y está incluido en el grupo de las Alturas Habana-Matanzas.

## Vegetación.

La vegetación es baja presentando algunos árboles en parques y zonas aledañas, está formada por especies foráneas y abundan la palma real, la ceiba y árboles frutales.

#### Climatización de la zona.

El clima en la provincia es tropical con dos períodos definidos invierno y verano. De mayo a noviembre las temperaturas medias mensuales oscilan entre los 24°C a 28°C con una media anual de 22°C, de diciembre al mes de abril las temperaturas medias mensuales son de 28°C a 32°C con media anual de 30°C, la temperatura media del territorio y de la región oscilan entre los 24°C y 28°C para todo el territorio la humedad relativa media anual es de un 79%, los vientos predominantes y de mayor porciento de frecuencia son de dirección Noreste.

## Hidrografía

La hidrografía del territorio se caracteriza por algunos ríos de poco caudal. El río Luyanó nace en los límites de San Miguel con el Cotorro, tiene 13 kilómetros hasta su desembocadura y siete afluentes. El Martín Pérez, otra de las corrientes fluviales del municipio, nace en las Alturas del Diezmero y tiene 7 kilómetros de longitud; ambos desembocan en la Bahía de La Habana. Dos cuencas hidrográficas bordean al municipio, la cuenca de Martín Pérez por el este con una extensión de 13,67 kilómetros y la cuenca del río Luyanó por el oeste con 28,42 kilómetros.

20

CAPÍTULO 2. MATERIALES Y MÉTODOS.

El diseño corresponde al alcantarillado sanitario de los repartos Ciudamar y Monterrey

los cuales vierten sus aguas al rio Martín Pérez que tiene como cuerpo receptor la

bahía de La Habana, se realizaran dos variantes de diseño con datos aportados como

la topografía, población, dotación, periodo de diseño y otros que son de gran

importancia para el diseño.

2.1. Datos iniciales para el cálculo.

Microlocalización

Esta obra se encuentra ubicada en el municipio San Miguel de Padrón, abarca los

repartos Ciudamar, Luyanó Moderno, Monterrey y La Granja.

Norte: 364 100 a 364 500

Este: 364 600 a 365 500

**Topografía** 

En la zona donde estarán ubicados los colectores las cotas oscilan entre los 12,00 y

los 50.00 metros sobre el nivel medio del mar.

El comportamiento topográfico del terreno conlleva a que las soluciones que se

adopten en el área urbana tengan una concepción de conducción y evacuación de los

residuales en su mayoría por gravedad.

Características de los residuales

Los residuales generados por los habitantes en la zona, son residuales líquidos de

carácter doméstico, así como aquellos que se deriven de la actividad socio económico

propia de la comunidad. Bajo estas condiciones se definen los residuales líquidos

generados en la zona como albañal con altas concentraciones de materia orgánica.

La materia orgánica en las aguas albañales está constituida en su mayor parte por

sustancias inestables, alguna como la urea en tan alto grado que sufren profundas

modificaciones en los propios conductos de evacuación. La materia orgánica no está

completamente oxidada y comienza a experimentar procesos modificadores, que

hacen cambiar el contenido y condición del albañal con el tiempo.

| Denominación       | u/m  | Valor  |
|--------------------|------|--------|
| Población diseño   | hab. | 23 277 |
| Periodo de diseño  | Años | 30     |
| Tiempo de servicio | Н    | 24     |

Lppd

l/s

l/s

360

77,59

1,80

139,66

Dotación

Tabla 2.1. Parámetros hidráulicos empleados en el diseño.

Tabla 2.2. Poblaciones especificas por repartos.

Aporte sanitario promedio (Q prom)

Coeficiente de simultaneidad (M)

Aporte sanitario diseño (Q diseño)

| Reparto   | Población (hab) |
|-----------|-----------------|
| Monterrey | 7795            |
| Ciudamar  | 15482           |

A partir de la topografía recibida como dato se ubican en una capa específica todos aquellos puntos con propiedades de coordenadas X Y Z. Se crea un fichero con extensión DXF que se exporta como base para trabajar en el programa SewerUp (ver figura 2.1).

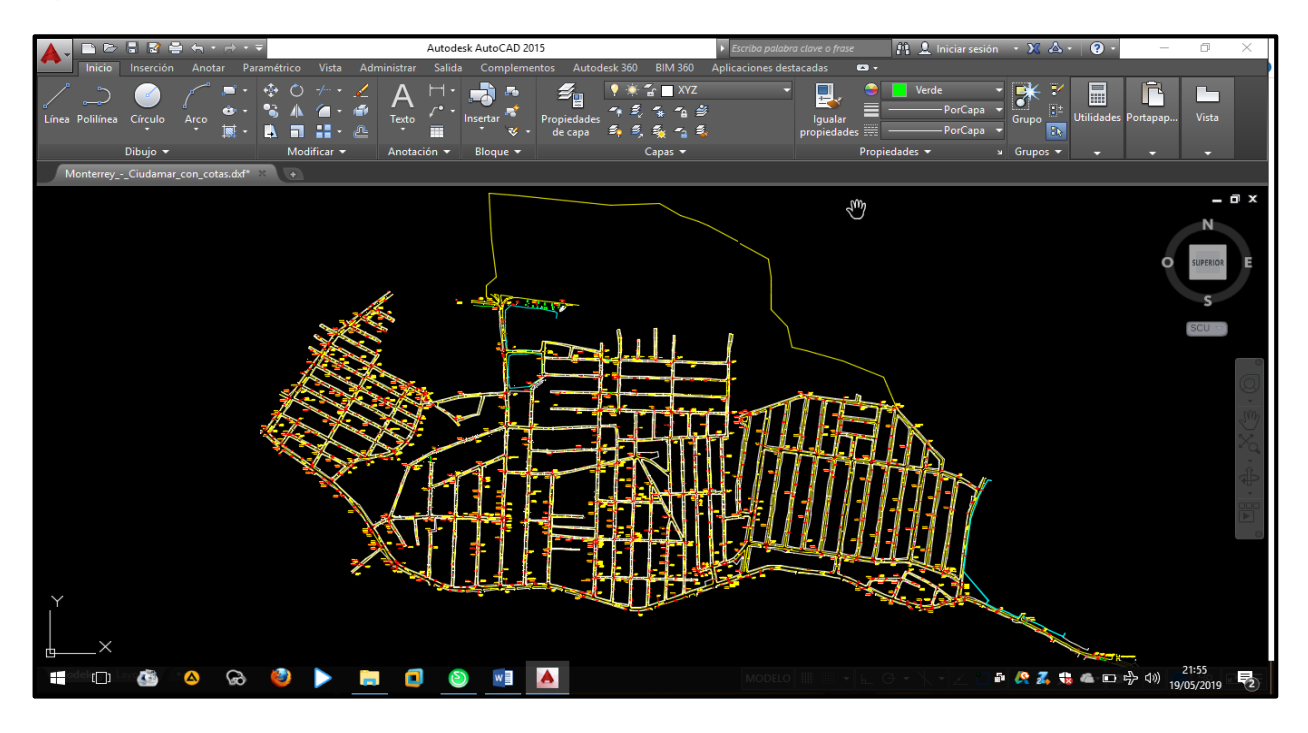


Figura 2.1 Topografía para el diseño.

## Importación de la topografía en formato dxf al software.

En SewerUp se selecciona la capa XYZ, se genera otra ventana donde se verifica las coordenadas y la elevación que sean correctas, se selecciona la ventana donde los nodos sean actualizados automáticamente (ver figura 2.2).

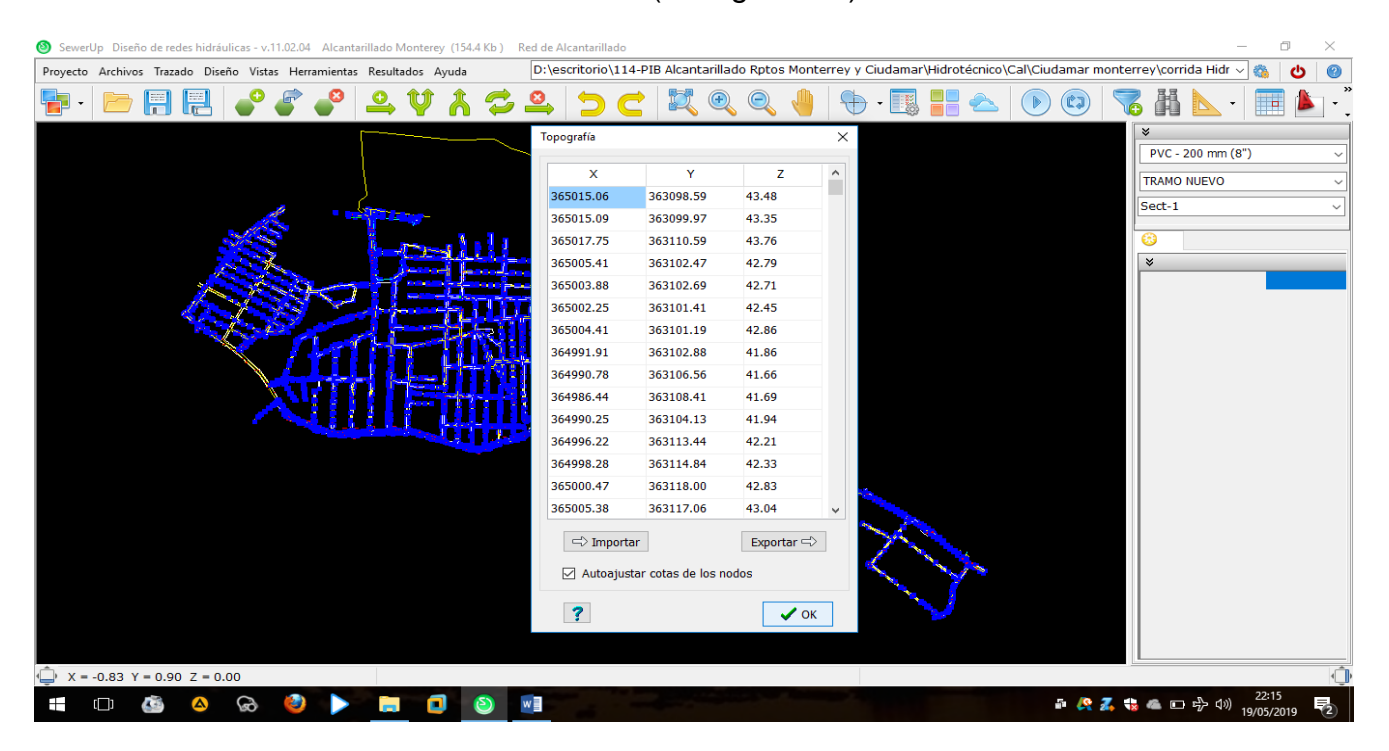


Figura 2.3 Revisión de las cotas en SewerUp.

#### 2.2. Diseño de la red con el empleo del software SewerUp.

#### Variante 1

La red de alcantarillado está constituida por nodos que representan registros de inspección, limpieza, cambio de pendiente o de diámetro, y por tramos de tuberías que unen los nodos. Para el trazado de la misma se marca sobre la base cartográfica la posición de cada nodo y el programa pide la cota topográfica, como ya importamos la topografía aparece un valor resultante de la interpolación de las cotas y luego se inserta el tramo que une los nodos y así sucesivamente para todos los nodos y tramos. Hay que tener en cuenta que en un nodo pueden entrar varios tramos, pero solo uno puede salir (ver figura 2.4)

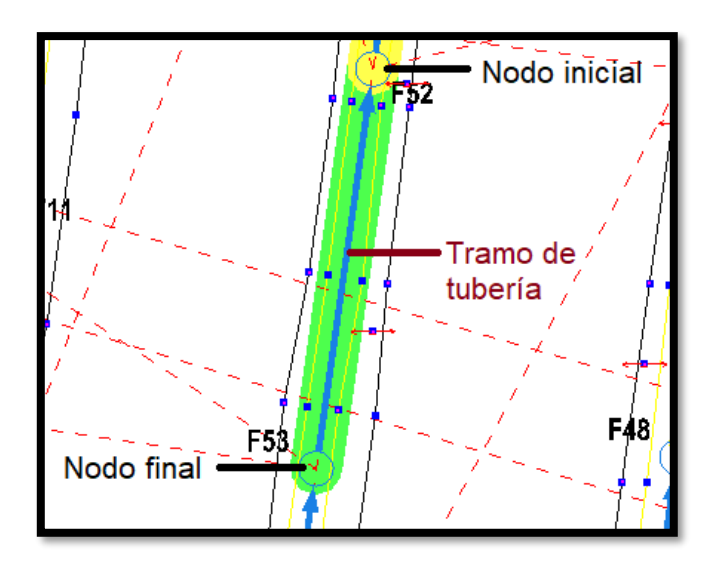


Figura 2.4 Representación de los nodos y tramos.

En el diseño se decidió colocar fosos de bombeo en los lugares con cotas más bajas. El primer foso de bombeo se colocó en Ciudamar en calle 2da entre R de Cárdenas y la Calzada de San Miguel del Padrón, el segundo se colocó en Luyanó Moderno en calle 1era entre Avenida Obrero y Autopista y el tercero se colocó en Las Granjas.

Antes de proceder al diseñó de la red se introducen datos generales como tensión tractiva mínima, relación h/D y pendiente mínima en tramos iniciales, por los valores establecidos en la Norma Cubana para el diseño de alcantarillado 1239 del 2018 como se muestra en la figura 2.4.

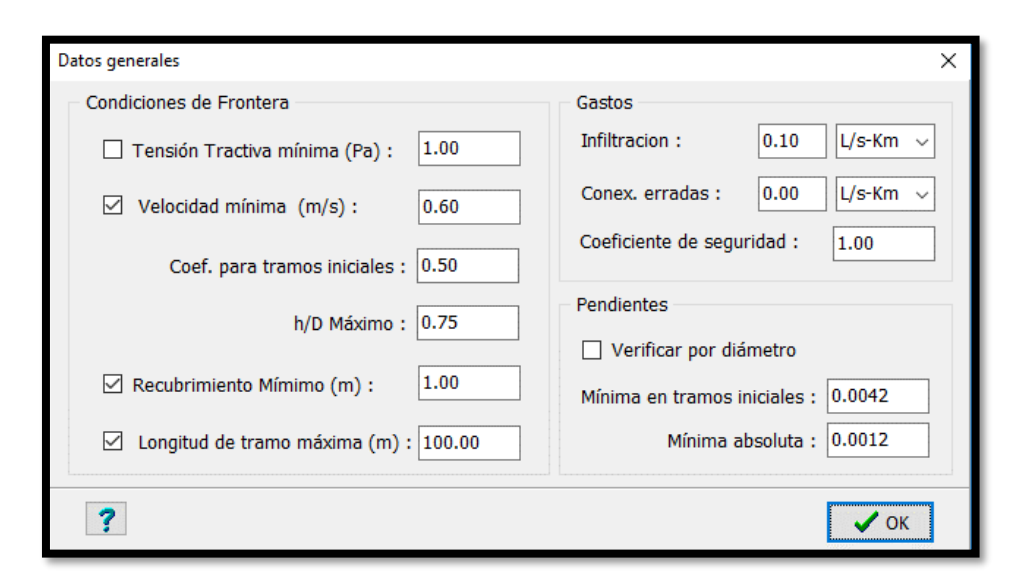


Figura 2.4 Distribución de los datos generales, SeweUp.

Mediante estos parámetros se obtienen las condiciones de fronteras que debe cumplir el diseño, así como datos necesarios para la estimación de los caudales.

Otro de los datos son las características de las tuberías, será necesario completar los valores de coeficiente de rugosidad de Manning, pendiente mínima, ancho de zanja, tipo de sección y diámetro para cada tubería teniendo en cuenta lo establecido en la Norma Cubana para el diseño de alcantarillado 1239 del 2018 (ver figura 2.5).

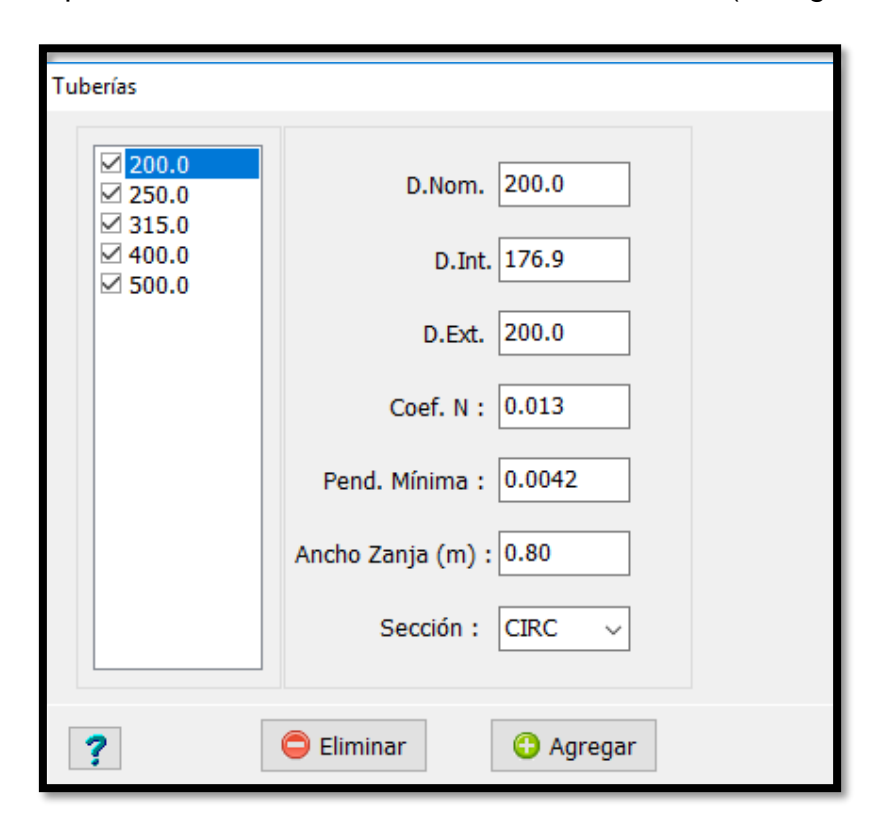


Figura 2.5 Datos específicos para cada tubería.

De este surtido el programa extrae las combinaciones para optimizar el diseño, es decir, lograr las menores pendientes y menores diámetros que cumplan las restricciones de fronteras impuestas en los Datos Generales.

SewerUp tiene dos opciones para el cálculo del área, por tramos o el área total. Se realiza por tramos cuando son poblaciones y lugares pequeños. En este caso como los repartos son muy grande se realiza marcando el perímetro del lugar donde se está trabajando y te da un área total (ver figura 2.6), el programa internamente le asigna a

cada tramo un área y una población. Por la experiencia práctica de los especialistas se conoce que los resultados son exactos.

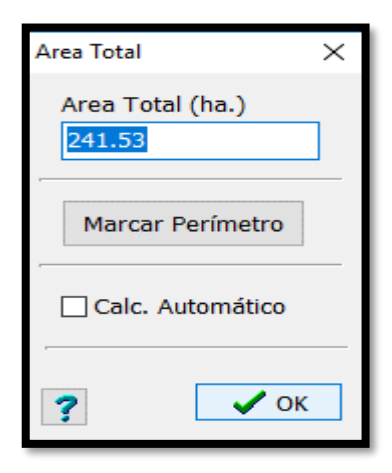
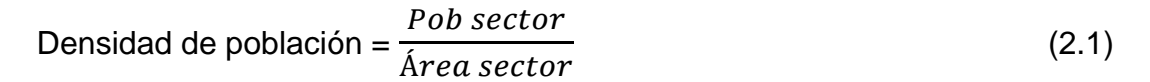
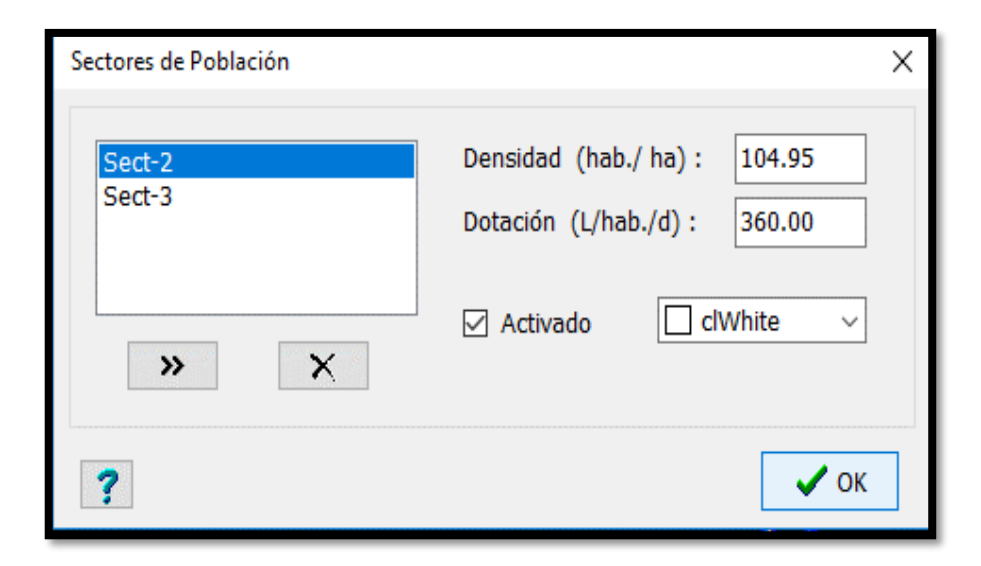


Figura 2.6 Área total.

Para continuar el diseño SewerUp tiene como opciones trabajar toda el área en un sector o dividirla en la cantidad de sectores que sean necesarios, en este caso se realizaron dos sectores ya que se conoce que existen dos colectores principales de la planta de tratamiento de aguas residuales existente a los cuales tributan todo el residual de estos repartos. A cada sector se le asigna la densidad de población y la dotación como se muestra en la figura 2.7 y 2.8.





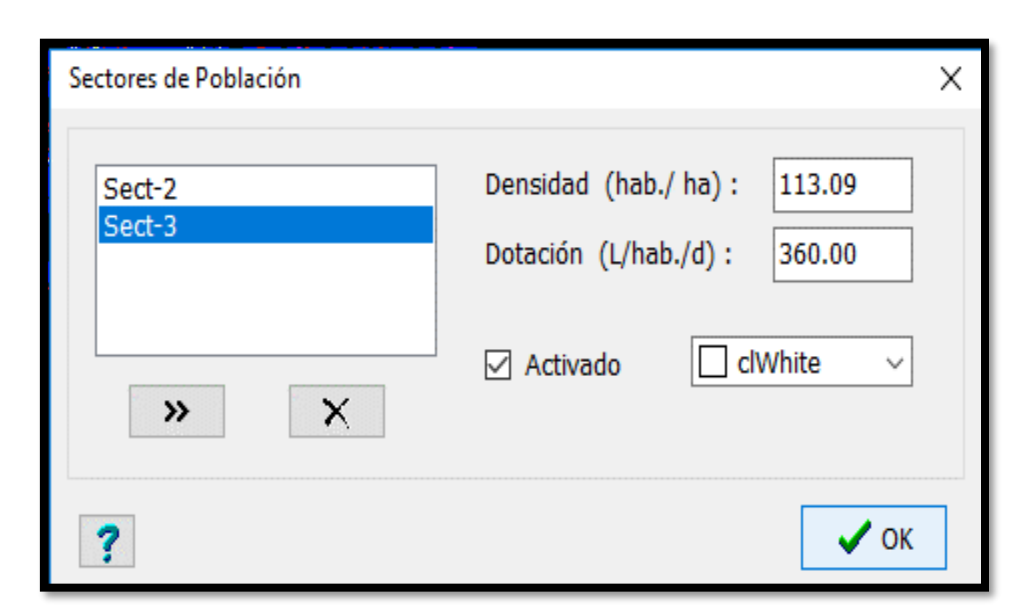
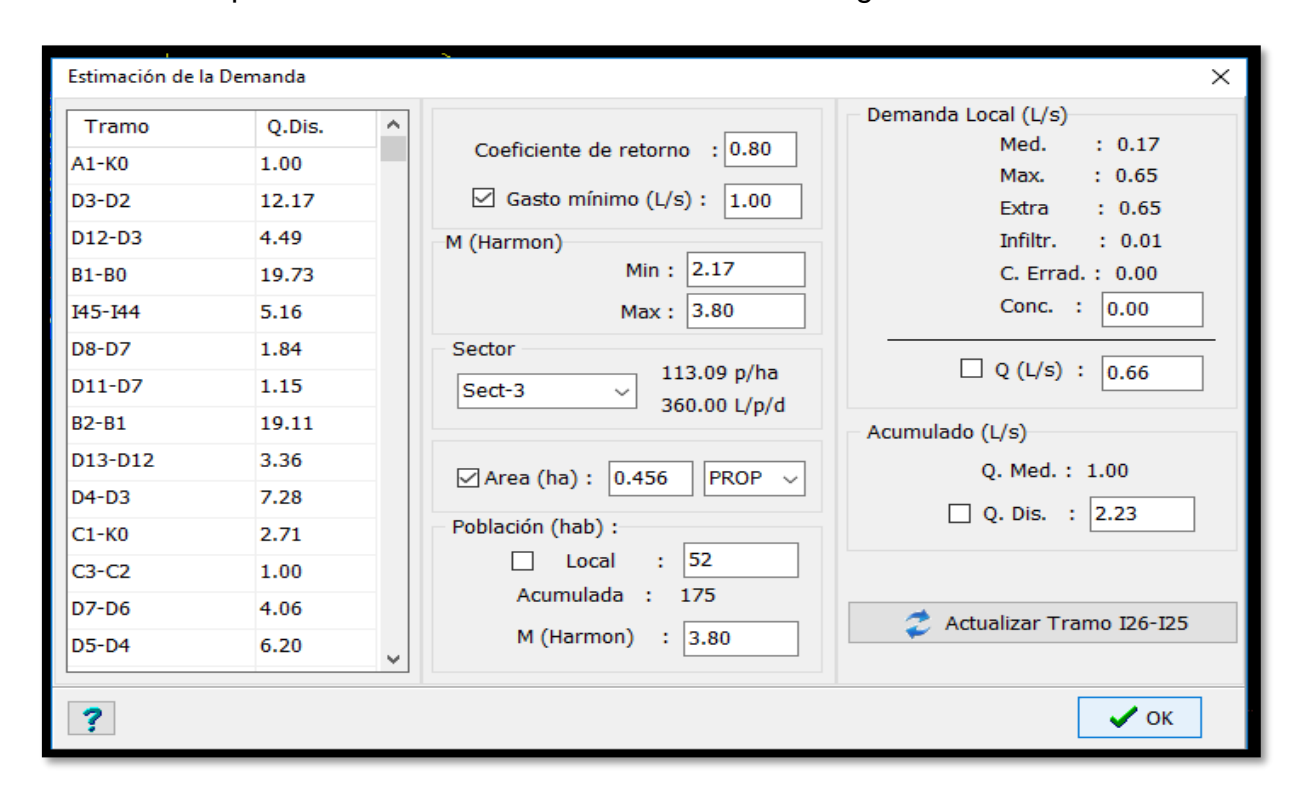


Figura 2.7 Densidad de población y dotación para el sector 2 (Ciudamar).

Figura 2.8 Densidad de población y dotación para el sector 3 (Monterrey).

Luego SewerUp permite estimar los caudales de acuerdo a la información disponible o a las normas y preferencias del proyectista. En todo caso es necesario asociar el sector al cual pertenece el tramo como se muestra en la figura 2.8.



### Figura 2.9 Estimación de la demanda.

Se diseñaron tres fosos de bombeo. Para el diseño de los mismos se definen los parámetros (diámetro, material, longitud y coeficiente C) de la tubería de impulsión y en base al gasto y la cota de entrada, el programa calcula el punto de operación de las bombas (ver figuras 2.10, 2.11 y 2.12).

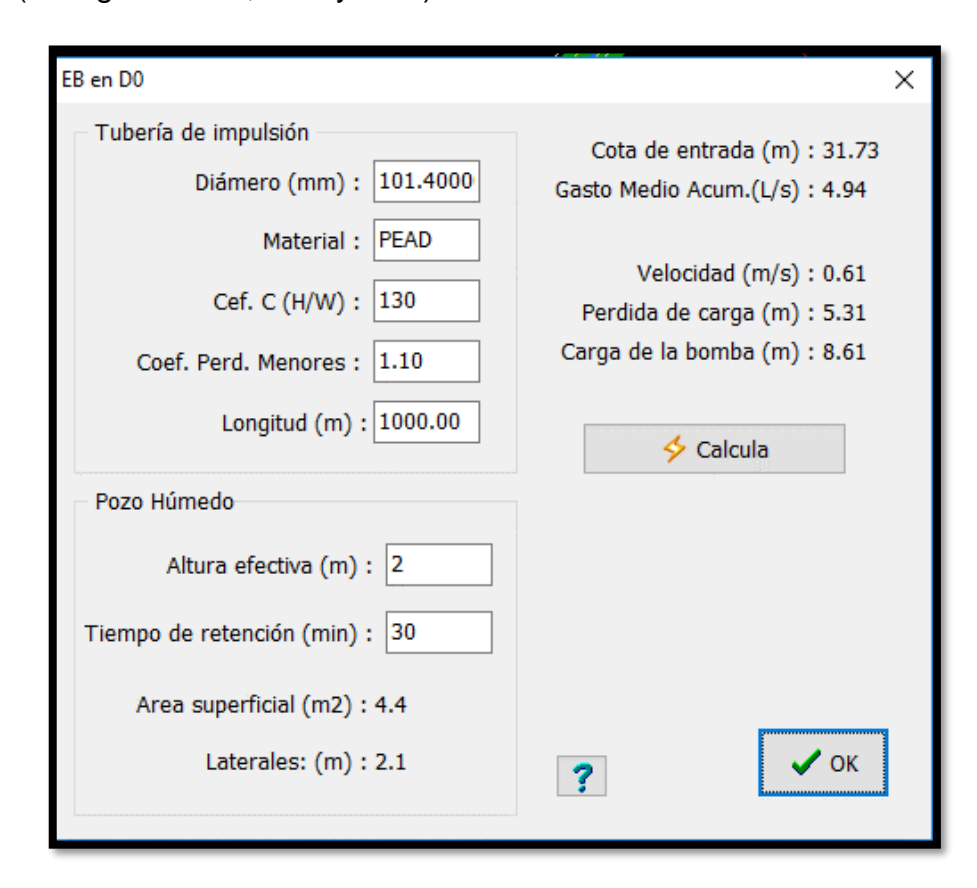


Figura 2.10 Parámetros del foso de bombeo en Las Granjas.

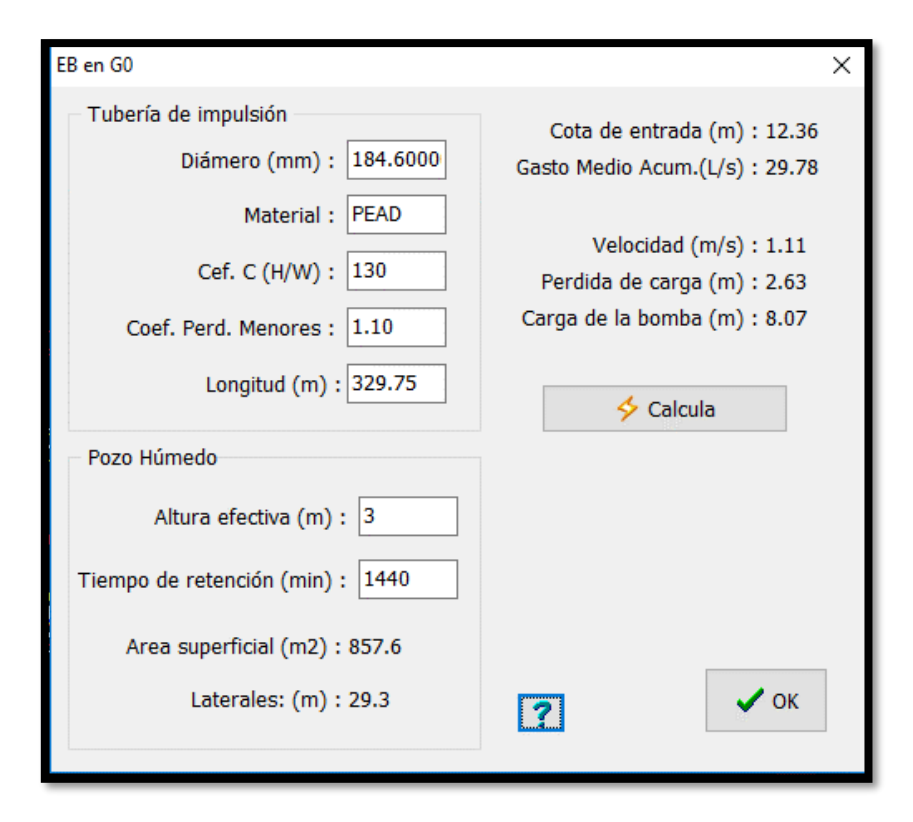


Figura 2.11 Parámetros del foso de bombeo en Luyanó Moderno.

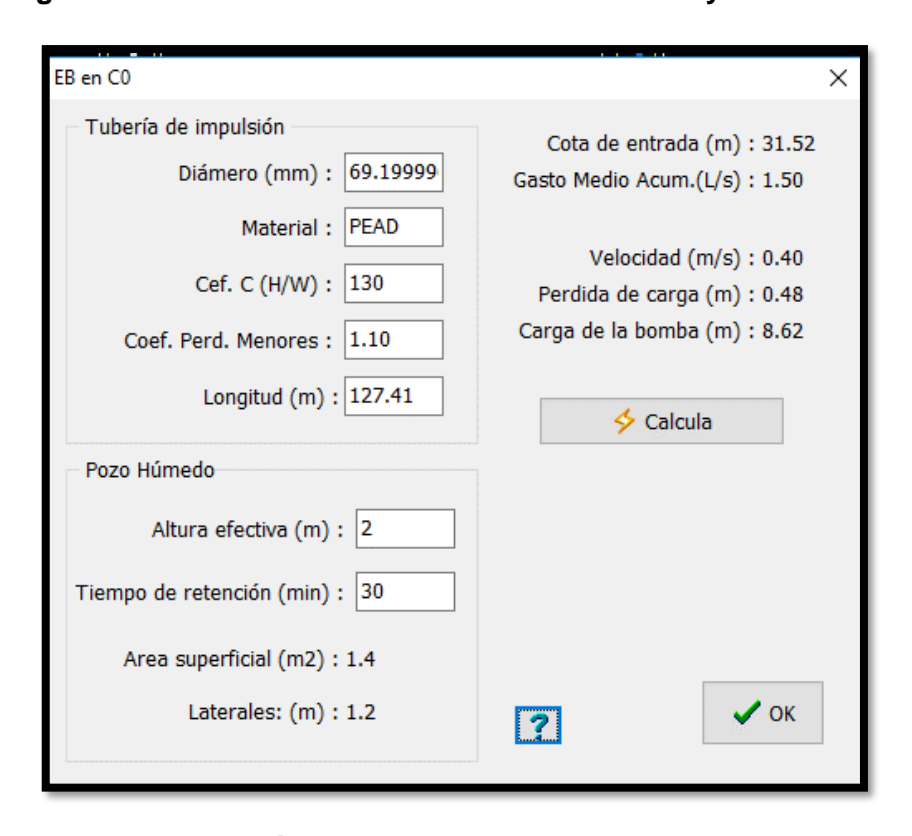


Figura 2.12 Parámetros del foso de bombeo en Ciudamar.

El resultado del diseño es la asignación de las pendientes hidráulicas a cada colector de forma tal que se obtengan diámetros y excavaciones mínimas y se cumplan con todas las restricciones impuestas.

El programa brinda opciones para visualizar el diseño ya sea en AutoCAD, creando un DXF o como vista previa en el mismo. Realiza perfiles, muestra la vista en planta de la red y representa el nodo, la cota del terreno, la cota invertida, así como pendientes, longitudes y diámetro de cada tramo, como se muestra en las figuras 2.13, 2.14 y 2.15.

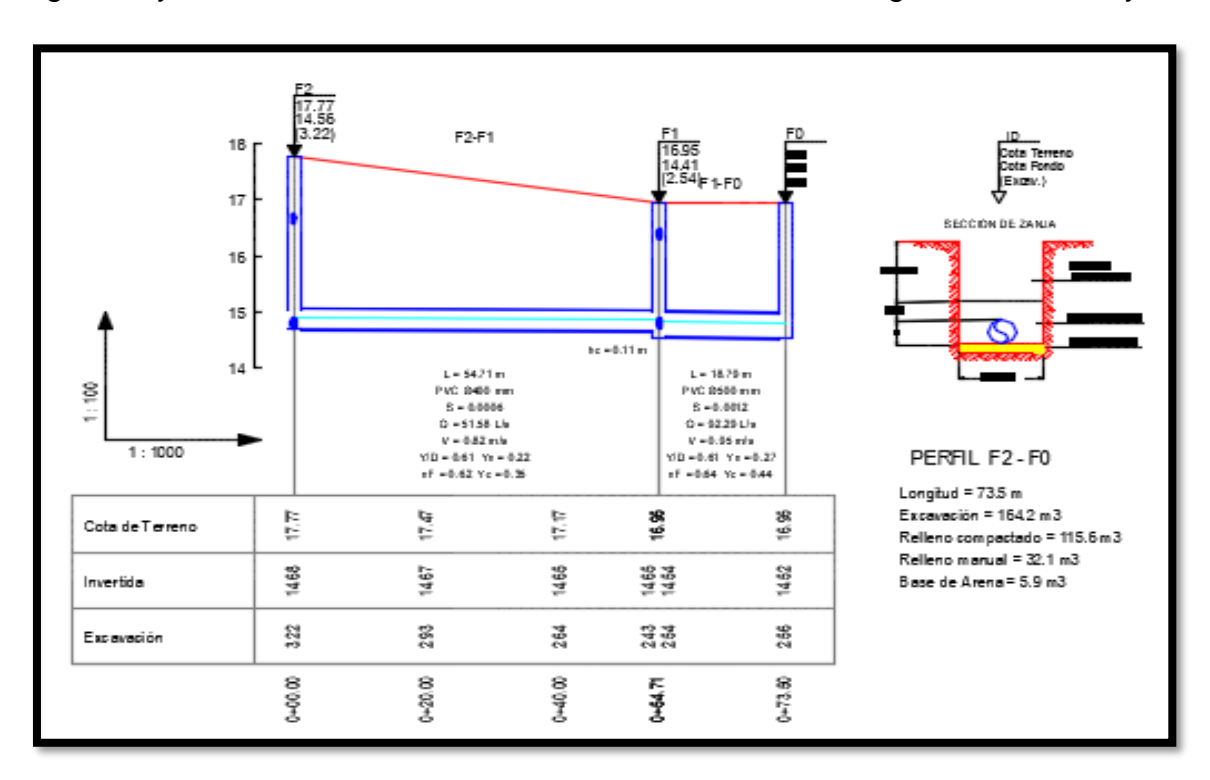


Figura 2.13 Perfil de la tubería F2-F0.

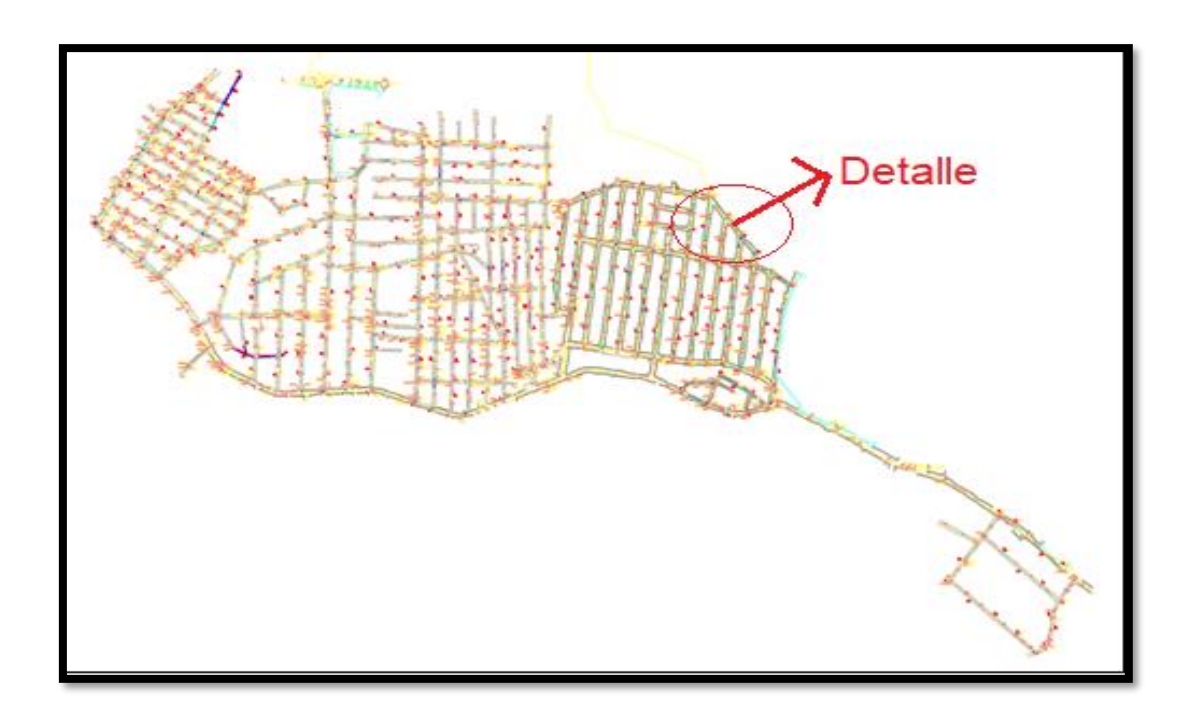


Figura 2.14 Vista en planta de la red de alcantarillado.

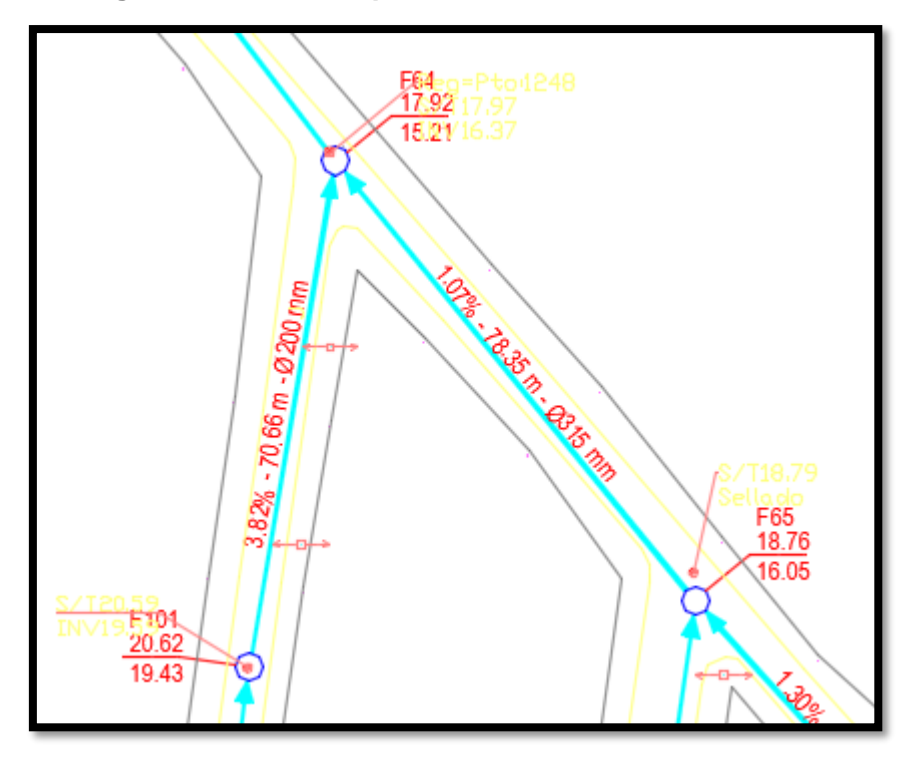


Figura 2.15 Detalle de la vista en planta de la red de alcantarillado.

## Variante 2

Este diseño se realizó a partir del mismo procedimiento del diseño para la variante 1 con los mismos datos y topografía. Se decidió cambiar el foso de bombeo en Las Granjas para la carretera Santa María del Rosario; donde estaban los otros dos fosos de bombeo se colocaron nodos y tuberías.

# CAPÍTULO 3. RESULTADOS DE LA INVESTIGACIÓN.

En este capítulo se exponen resultados de la investigación y se realiza una comparación técnica- económica de las dos variantes de diseño de la red de alcantarillado de los repartos Ciudamar y Monterrey.

#### 3.1. Resultados de las variantes.

A continuación, en las figuras 3.1 y 3.2 se muestran las vistas en planta de las dos variantes de diseño del alcantarillado de los repartos Ciudamar y Monterrey obtenidos a partir de la simulación mediante el software SewerUp.

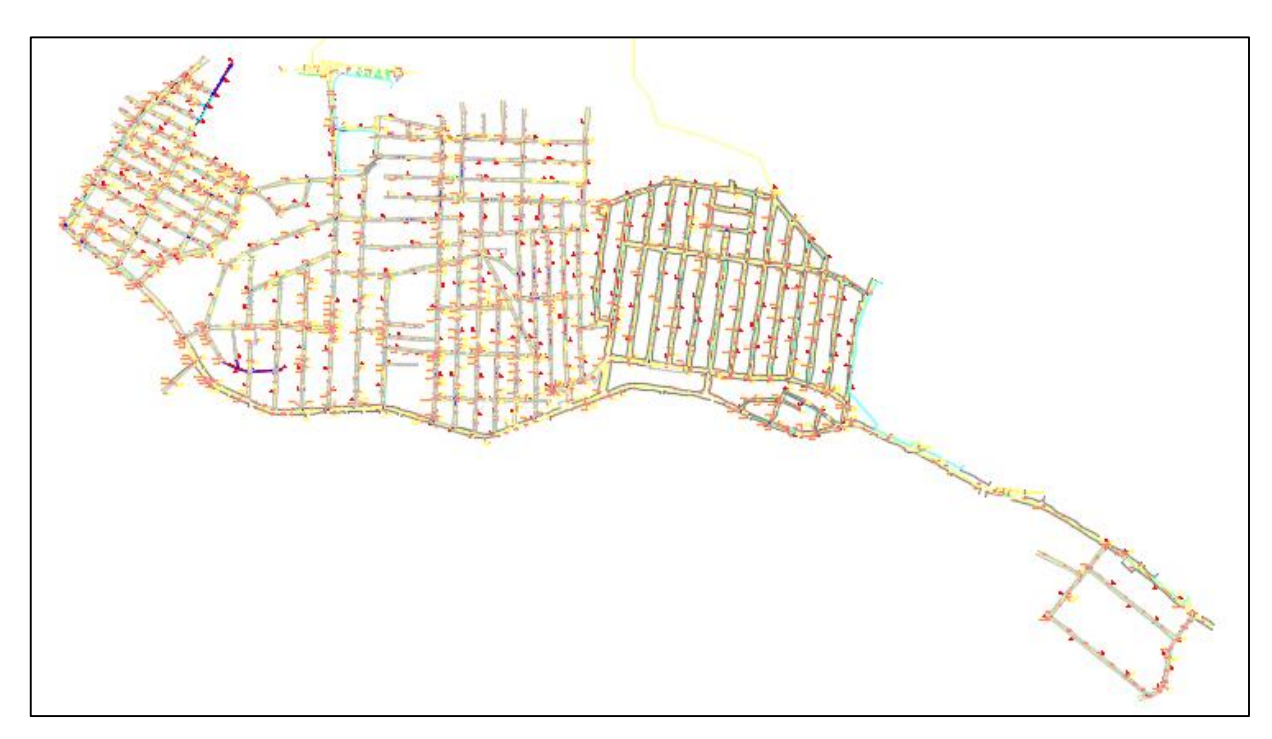


Figura 3.1. Vista en planta del alcantarillado. Variante 1.

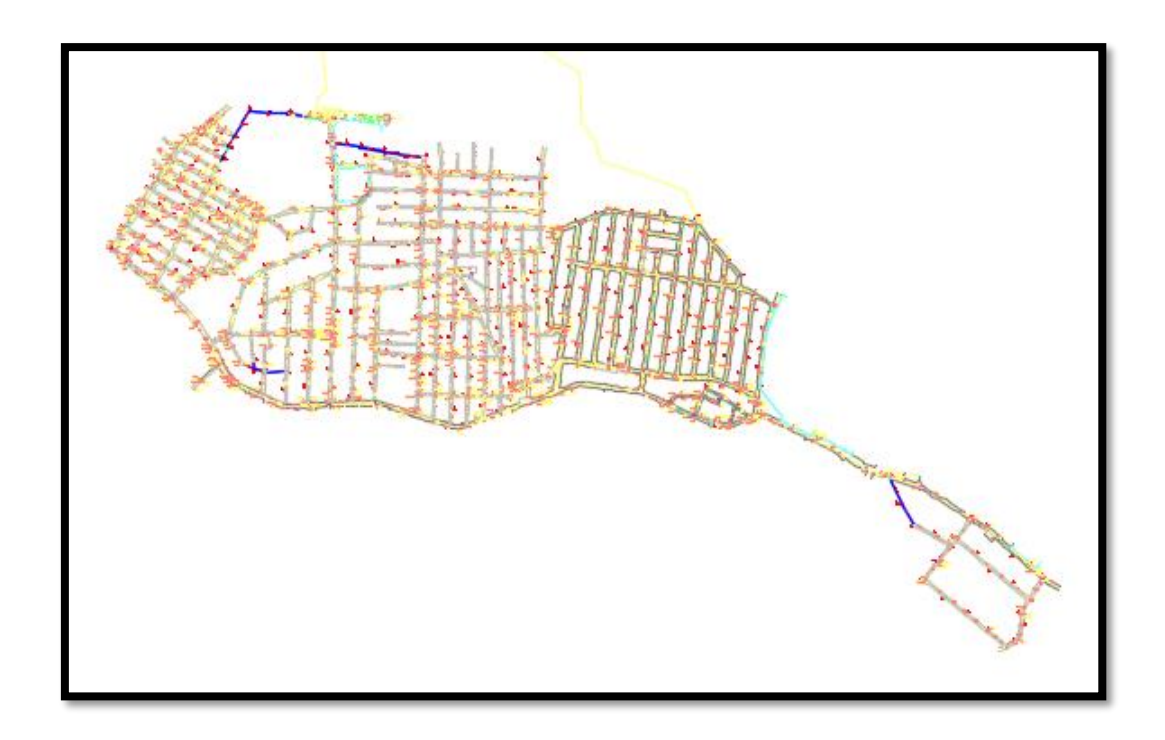


Figura 3.2. Vista en planta del alcantarillado. Variante 2.

Las tablas con las características de los tramos de cada variante y perfiles se muestran en los anexos.

## 3.2. Comparación de las variantes a partir de los parámetros técnicos.

En la tabla 3.1 se puede observar una comparación de las dos variantes de diseño, a partir de los parámetros técnicos obtenidos en la simulación con el software SewerUp.

| Valores Totales    | Variante 1              | Variante 2              |
|--------------------|-------------------------|-------------------------|
| Cantidad de Tramos | 430 u                   | 435 u                   |
| Fosos de bombeo    | 3 u                     | 1 u                     |
| Longitud           | 26312.07 m              | 27388.06 m              |
| Área               | 241.53 ha.              | 241.53 ha.              |
| Población          | 23277 hab               | 23277 hab               |
| Colchón de arena   | 2104.97 m <sup>3</sup>  | 2191.04 m <sup>3</sup>  |
| Relleno Compactado | 22439 77 m <sup>3</sup> | 24273 49 m <sup>3</sup> |

3562.75 m<sup>3</sup>

2761.98 m<sup>3</sup>

Relleno Manual

Tabla 3.1 Comparación de las variantes de diseño.

| Excavación | 38012.87 m <sup>3</sup> | 40994.37 m <sup>3</sup> |
|------------|-------------------------|-------------------------|
|            |                         |                         |

### 3.3 Comparación de las variantes a partir de sus costos.

Los costos de tuberías y fosos de bombeo se calcularon a partir del Índice técnico económico para la elaboración de obras hidráulicas de la empresa de Investigaciones y Proyectos Hidráulicos de Villa Clara.

Para el cálculo de los costos totales de las tuberías se utilizó la ecuación 3.1 para las dos variantes de diseño.

$$Y = 2.4565X^{0.7504} \tag{3.1}$$

Donde:

Y = Costo total en, \$/m.

X = Diámetro nominal, en mm.

Tabla 3.2 Datos y resultados del cálculo de los costos de las tuberías.

|           | Var             | iante 1         |                  |           | Var             | iante 2         |                  |
|-----------|-----------------|-----------------|------------------|-----------|-----------------|-----------------|------------------|
| D<br>(mm) | Longitud<br>(m) | Costo<br>(\$/m) | Costo total (\$) | D<br>(mm) | Longitud<br>(m) | Costo<br>(\$/m) | Costo total (\$) |
| 200       | 22555.32        | 130.92          | 2952942.4        | 200       | 22774.18        | 130.92          | 2981140.2        |
| 250       | 1724.24         | 154.78          | 266739.93        | 250       | 2063.73         | 154.78          | 319424.13        |
| 315       | 1153.89         | 184.09          | 212419.61        | 315       | 1381.24         | 184.09          | 25427.47         |
| 400       | 746.57          | 220.24          | 164424.58        | 400       | 602.51          | 220.24          | 132696.8         |
| 500       | 132.06          | 260.38          | 34375.22         | 500       | 566.40          | 260.38          | 147479.23        |

Para el cálculo de los costos totales de los fosos de bombeo se utilizó la ecuación 3.2 para las dos variantes de diseño.

$$Y = 7820X^{0.5601} \tag{3.2}$$

#### Donde:

Y = Costo total en, \$.

X = Caudal de la estación de bombeo, en L/s.

Tabla 3.3. Datos y resultados del cálculo de los fosos de bombeo.

|                | Variante | 1        | Variante 2       |                 |                  |  |
|----------------|----------|----------|------------------|-----------------|------------------|--|
| Foso de bombeo |          |          | Diámetro<br>(mm) | Caudal<br>(L/s) | Costo total (\$) |  |
| 1              | 1.50     | 9813.76  | 1                | 7               | 23256.59         |  |
| 2              | 29.78    | 52330.15 | -                | -               | -                |  |
| 3              | 4.94     | 19132.13 | -                | -               | -                |  |

A continuación, se presenta la tabla 3.4 con los costos totales del diseño de la red de alcantarillado.

Tabla 3.4. Costos totales de la red de alcantarillado.

| Variantes | Costo total de las<br>tuberías (\$) | Costo total de los fosos de bombeo (\$) | Costo total de la<br>obra (\$) |  |
|-----------|-------------------------------------|---|--------------------------------|--|
| 1         | 3630901.86                          | 81276.04                                | 3712177.90                     |  |
| 2         | 3606167.79                          | 23256.59                                | 3629424.38                     |  |

A partir de la comparación técnica y económica de las dos variantes de diseño obtenidas por la simulación con el software SewerUp se puede concluir que las dos variantes son factibles en cuanto al diseño ya que le dan solución al mismo.

#### **CONCLUSIONES Y RECOMENDACIONES**

#### Conclusiones

- 1-Se obtuvieron dos variantes de diseño para el sistema de alcantarillado de los repartos Ciudamar y Monterrey que optimizan el uso de la red para permitir disminuir la carga contaminante que tributa al río Martín Pérez.
- 2-La utilización del software SewerUp permitió realizar dos variantes de diseño las cuales le dan solución al problema de alcantarillado de los repartos Ciudamar y Monterrey
- 3-Se realizaron dos variantes de diseño y a partir de comparar sus parámetros técnicos y económicos, se determinó que la variante más factible es el número dos.

#### Recomendaciones

- 1- Realizar un análisis económico más profundo del sistema de alcantarillado, tomando en cuenta los costos de operación y mantenimiento.
- 2- Realizar tantas adaptaciones como sean necesarias a la hora de ejecutar el diseño.

## REFERENCIAS BIBLIOGRÁFICAS

AGUA, C. N. D. 2007. Manual de Agua Potable, Alcantarillado y Saneamiento.

CAMPOS, F. R. 2009. Historia del saneamiento de Valladolid.

CAPACITACION ASADA, S. D. A. R. DIFERENCIAS ENTRE EL SANEAMIENTO URBANO Y EL RURAL

CEDEX 2007. Guía Técnica sobre redes de saneamiento y drenaje urbano.

INRH 2017. Política Nacional del Agua.

JICA, A. D. C. I. D. J., GRUPO DE TRABAJO DEL ESTADO PARA EI SANEAMIENTO, CONSERVACIÓN Y DESARROLLO DE LA BAHÍA DE LA HABANA (GTE) EN LA REPÚBLICA DE CUBA 2004. ESTUDIO DEL DESARROLLO DEL ALCANTARILLADO Y EL DRENAJE PLUVIAL EN LA CUENCA TRIBUTARIA DE LA BAHÍA DE LA HABANA EN LA REPÚBLICA DE CUBA 5.

SALUD, O. P. D. L. 2005. Guía para el Diseño de Tecnologías de Alcantarillado.

#### **BIBLIOGRAFÍA**

AGUA, C. N. D. 2007. Manual de Agua Potable, Alcantarillado y Saneamiento.

CAMPOS, F. R. 2009. Historia del saneamiento de Valladolid.

CAPACITACION ASADA, S. D. A. R. DIFERENCIAS ENTRE EL SANEAMIENTO URBANO Y EL RURAL

CARPIO, H. A., N.C.G. SIGARAN, AND K.C.T. HERNANDEZ 2011. PROPUESTA DE DISEÑO DEL DRENAJE PLUVIAL, ALCANTARILLADO SANITARIO Y PLANTA DE TRATAMIENTO PARA LAS AGUAS RESIDUALES DEL CASCO URBANO Y COLONIAL" LA ENTREVISTA" DEL MUNICIPIO SAN CAYETANO ISTEPEQUE, DEPARTAMENTO DE SANVICENTE.

CEDEX 2007. Guía Técnica sobre redes de saneamiento y drenaje urbano.

FRITZE, L. C. D. L. P. junio, 2016. Diseño y Simulación de una Red de Drenaje Pluvial en la Zona Centro-Oeste de Trinidad.

INRH 2017. Política Nacional del Agua.

JICA, A. D. C. I. D. J., GRUPO DE TRABAJO DEL ESTADO PARA EL SANEAMIENTO, CONSERVACIÓN Y DESARROLLO DE LA BAHÍA DE LA HABANA (GTE) EN LA REPÚBLICA DE CUBA 2004. ESTUDIO DEL DESARROLLO DEL ALCANTARILLADO Y EL DRENAJE PLUVIAL EN LA CUENCA TRIBUTARIA DE LA BAHÍA DE LA HABANA EN LA REPÚBLICA DE CUBA 5.

NORMALIZACIÓN, O. N. D. 1999. VERTIMIENTO DE AGUAS RESIDUALES A LAS AGUAS TERRESTRES Y AL ALCANTARILLADO. ESPECIFICACIONES. .

NORMALIZACIÓN, O. N. D. 2018. ESPECIFICACIONES PARA EL DISEÑO Y CONSTRUCCIÓN DE ALCANTARILLADO SANITARIO Y DRENAJE PLUVIAL URBANO

PREZI.COM. 2018. *Modelos (softwares) para el diseño de redes de alcantarillado.* [Online]. [Accessed].

SALUD, O. P. D. L. 2005. Guía para el Diseño de Tecnologías de Alcantarillado.

SIAPA 2014. Lineamientos Técnicos para Factibilidades.CAP.3 Alcantarillado Sanitario.

# **ANEXOS**

## Anexo 1 Variante 1.

Tabla 1. Características de los tramos alcantarillado.

|           |          | Diámetro | Longitud | Pendiente | Velocidad |      |
|-----------|----------|----------|----------|-----------|-----------|------|
| ID        | Material | (mm)     | (m)      | (m/m)     | (m/s)     | Y/D  |
| G156-G155 | PEAD     | 200      | 45.94    | 0.0111    | 0.72      | 0.14 |
| G155-G1   | PEAD     | 200      | 97.17    | 0.0066    | 0.63      | 0.17 |
| G154-G153 | PEAD     | 200      | 38.85    | 0.0536    | 1.25      | 0.1  |
| G153-G152 | PEAD     | 200      | 50.4     | 0.0066    | 0.6       | 0.16 |
| G152-G2   | PEAD     | 200      | 50.4     | 0.0086    | 0.68      | 0.15 |
| G151-G150 | PEAD     | 200      | 92.04    | 0.0302    | 1.03      | 0.11 |
| G150-G52  | PEAD     | 200      | 92.04    | 0.0158    | 0.9       | 0.15 |
| G149-G53  | PEAD     | 200      | 84.71    | 0.0169    | 0.84      | 0.13 |
| G148-G54  | PEAD     | 200      | 81.36    | 0.0111    | 0.72      | 0.14 |
| G147-G146 | PEAD     | 200      | 58.26    | 0.004     | 0.5       | 0.18 |
| G146-G145 | PEAD     | 200      | 59.44    | 0.0491    | 1.22      | 0.1  |
| G145-G144 | PEAD     | 200      | 59.44    | 0.0051    | 0.6       | 0.19 |
| G144-G143 | PEAD     | 200      | 51.74    | 0.0104    | 0.83      | 0.19 |
| G143-G55  | PEAD     | 200      | 51.75    | 0.0166    | 1.04      | 0.18 |
| G142-G141 | PEAD     | 200      | 83.68    | 0.0302    | 1.03      | 0.11 |
| G141-G140 | PEAD     | 200      | 65.33    | 0.0312    | 1.08      | 0.12 |
| G140-G113 | PEAD     | 200      | 75.81    | 0.0408    | 1.34      | 0.13 |
| G139-G138 | PEAD     | 200      | 69.63    | 0,1125    | 1.62      | 0.08 |
| G138-G137 | PEAD     | 200      | 64.65    | 0.0034    | 0.48      | 0.19 |
| G137-G134 | PEAD     | 200      | 64.68    | 0.0372    | 1.25      | 0.13 |
| G136-G135 | PEAD     | 200      | 53.24    | 0.0319    | 1.05      | 0.11 |
| G135-G134 | PEAD     | 200      | 51.65    | 0.0489    | 1.22      | 0.1  |
| G134-G132 | PEAD     | 200      | 38.1     | 0.0328    | 1.41      | 0.17 |
| G133-G132 | PEAD     | 200      | 97.1     | 0.0511    | 1.23      | 0.1  |
| G132-G131 | PEAD     | 200      | 95.12    | 0.0229    | 1.41      | 0.23 |
| G131-G130 | PEAD     | 200      | 60.95    | 0.0226    | 1.45      | 0.25 |
| G130-G114 | PEAD     | 200      | 60.95    | 0.0059    | 0.92      | 0.37 |
| G129-G128 | PEAD     | 200      | 98.65    | 0.0399    | 1.13      | 0.1  |
| G128-G127 | PEAD     | 200      | 98.68    | 0.0635    | 1.5       | 0.11 |
| G127-G126 | PEAD     | 200      | 80.98    | 0.0421    | 1.44      | 0.15 |
| G126-G125 | PEAD     | 200      | 80.98    | 0.0026    | 0.58      | 0.33 |

Tabla 2. Características de los tramos alcantarillado. Continuación.

| _         |          | Diámetro | Longitud | Pendiente | Velocidad | v/5  |
|-----------|----------|----------|----------|-----------|-----------|------|
| ID        | Material | (mm)     | (m)      | (m/m)     | (m/s)     | Y/D  |
| G125-G116 | PEAD     | 200      | 78.33    | 0.0229    | 1.33      | 0.21 |
| G124-G123 | PEAD     | 200      | 63.31    | 0.004     | 0.5       | 0.18 |
| G123-G122 | PEAD     | 200      | 63.31    | 0.023     | 0.93      | 0.12 |
| G122-G121 | PEAD     | 200      | 47.25    | 0.066     | 1.47      | 0.1  |
| G121-G120 | PEAD     | 200      | 30.07    | 0.0688    | 1.56      | 0.11 |
| G120-G119 | PEAD     | 200      | 17.97    | 0.0618    | 1.54      | 0.12 |
| G119-G118 | PEAD     | 200      | 17.73    | 0.0468    | 1.43      | 0.13 |
| G118-G117 | PEAD     | 200      | 71.41    | 0.0429    | 1.5       | 0.15 |
| G117-G116 | PEAD     | 200      | 71.41    | 0.0199    | 1.22      | 0.2  |
| G116-G115 | PEAD     | 200      | 74.15    | 0.0262    | 1.72      | 0.29 |
| G115-G114 | PEAD     | 200      | 78.42    | 0.0131    | 1.37      | 0.36 |
| G114-G113 | PEAD     | 315      | 55.47    | 0.0025    | 0.85      | 0.4  |
| G113-G55  | PEAD     | 315      | 78.4     | 0.0157    | 1.72      | 0.27 |
| G112-G111 | PEAD     | 200      | 88.26    | 0.0652    | 1.34      | 0.09 |
| G111-G110 | PEAD     | 200      | 64.7     | 0.0543    | 1.32      | 0.1  |
| G110-G109 | PEAD     | 200      | 64.7     | 0.0397    | 1.31      | 0.13 |
| G109-G108 | PEAD     | 200      | 65.48    | 0.0238    | 1.19      | 0.17 |
| G108-G107 | PEAD     | 200      | 65.52    | 0.0466    | 1.6       | 0.16 |
| G107-G106 | PEAD     | 200      | 69.07    | 0.0334    | 1.5       | 0.19 |
| G106-G59  | PEAD     | 200      | 69.07    | 0.0094    | 1         | 0.28 |
| G105-G104 | PEAD     | 200      | 50.89    | 0.0725    | 1.39      | 0.09 |
| G104-G103 | PEAD     | 200      | 47.66    | 0.0774    | 1.43      | 0.09 |
| G103-G102 | PEAD     | 200      | 65.17    | 0.0055    | 0.6       | 0.18 |
| G102-G101 | PEAD     | 200      | 65.2     | 0.0058    | 0.68      | 0.21 |
| G101-G100 | PEAD     | 200      | 66.33    | 0.0418    | 1.47      | 0.15 |
| G100-G99  | PEAD     | 200      | 66.33    | 0.0918    | 2.05      | 0.14 |
| G99-G98   | PEAD     | 200      | 76.5     | 0.0256    | 1.39      | 0.2  |
| G98-G60   | PEAD     | 200      | 77.16    | 0.0375    | 1.66      | 0.2  |
| G97-G96   | PEAD     | 200      | 93.03    | 0.0656    | 1.35      | 0.09 |
| G96-G95   | PEAD     | 200      | 65.45    | 0.0604    | 1.38      | 0.1  |
| G95-G94   | PEAD     | 200      | 65.48    | 0.0215    | 1.07      | 0.15 |
| G94-G93   | PEAD     | 200      | 65.91    | 0.0402    | 1.44      | 0.15 |
| G93-G92   | PEAD     | 200      | 65.91    | 0.0554    | 1.71      | 0.15 |
| G92-G91   | PEAD     | 200      | 58.98    | 0.0383    | 1.57      | 0.18 |

Tabla 3. Características de los tramos alcantarillado. Continuación.

|         |          | Diámetro | Longitud | Pendiente | Velocidad | V/5  |
|---------|----------|----------|----------|-----------|-----------|------|
| ID      | Material | (mm)     | (m)      | (m/m)     | (m/s)     | Y/D  |
| G90-G61 | PEAD     | 250      | 50.08    | 0.0188    | 1.45      | 0.22 |
| G89-G63 | PEAD     | 200      | 82.39    | 0.0169    | 0.84      | 0.13 |
| G88-G83 | PEAD     | 200      | 29.61    | 0.0203    | 0.89      | 0.12 |
| G87-G86 | PEAD     | 200      | 74.63    | 0.0764    | 1.42      | 0.09 |
| G86-G85 | PEAD     | 200      | 83.16    | 0.0262    | 1.03      | 0.12 |
| G85-G84 | PEAD     | 200      | 45.64    | 0.0809    | 1.65      | 0.11 |
| G84-G83 | PEAD     | 200      | 34.03    | 0.0773    | 1.7       | 0.12 |
| G83-G64 | PEAD     | 200      | 83.2     | 0.0304    | 1.38      | 0.18 |
| G82-G81 | PEAD     | 200      | 46.48    | 0.1334    | 1.72      | 0.08 |
| G81-G80 | PEAD     | 200      | 76.63    | 0.0433    | 1.16      | 0.1  |
| G80-G79 | PEAD     | 200      | 49.91    | 0.0611    | 1.43      | 0.11 |
| G79-G78 | PEAD     | 200      | 36.79    | 0.0739    | 1.62      | 0.11 |
| G78-G77 | PEAD     | 200      | 66.64    | 0.004     | 0.63      | 0.26 |
| G77-G65 | PEAD     | 200      | 66.64    | 0.003     | 0.6       | 0.31 |
| G76-G75 | PEAD     | 200      | 47.82    | 0.06      | 1.3       | 0.09 |
| G75-G74 | PEAD     | 200      | 37.81    | 0.0066    | 0.6       | 0.16 |
| G74-G73 | PEAD     | 200      | 14.13    | 0.0066    | 0.6       | 0.16 |
| G73-G72 | PEAD     | 200      | 84.12    | 0.0195    | 0.97      | 0.14 |
| G72-G71 | PEAD     | 200      | 95.89    | 0.0182    | 1.08      | 0.18 |
| G71-G68 | PEAD     | 200      | 74.42    | 0.0087    | 0.89      | 0.24 |
| G70-G69 | PEAD     | 200      | 53.58    | 0.0177    | 0.85      | 0.12 |
| G69-G68 | PEAD     | 200      | 96.91    | 0.0059    | 0.6       | 0.17 |
| G68-G65 | PEAD     | 200      | 41.28    | 0.0021    | 0.6       | 0.44 |
| G67-G66 | PEAD     | 200      | 73.62    | 0.004     | 0.5       | 0.18 |
| G66-G65 | PEAD     | 200      | 77.85    | 0.0058    | 0.6       | 0.17 |
| G65-G64 | PEAD     | 250      | 43.63    | 0.0014    | 0.6       | 0.53 |
| G64-G63 | PEAD     | 250      | 69.33    | 0.0012    | 0.62      | 0.69 |
| G63-G62 | PEAD     | 250      | 73.18    | 0.0083    | 1.32      | 0.4  |
| G62-G61 | PEAD     | 250      | 36.83    | 0.0263    | 2.02      | 0.3  |
| G61-G60 | PEAD     | 315      | 21.03    | 0.0861    | 3.37      | 0.2  |
| G60-G59 | PEAD     | 315      | 59.41    | 0.0098    | 1.64      | 0.38 |
| G59-G58 | PEAD     | 400      | 46.66    | 0.0012    | 0.78      | 0.53 |
| G58-G57 | PEAD     | 400      | 30.77    | 0.0012    | 0.78      | 0.53 |
| G57-G56 | PEAD     | 400      | 44.61    | 0.0012    | 0.79      | 0.54 |
| G56-G55 | PEAD     | 400      | 51.42    | 0.0012    | 0.79      | 0.54 |

Tabla 4. Características de los tramos alcantarillado. Continuación.

|         | <b>54</b> - 1 - 2 - 1 | Diámetro | Longitud | Pendiente | Velocidad | v/5  |
|---------|-----------------------|----------|----------|-----------|-----------|------|
| ID      | Material              | (mm)     | (m)      | (m/m)     | (m/s)     | Y/D  |
| G55-G54 | PEAD                  | 400      | 57.04    | 0.0012    | 0.87      | 0.76 |
| G54-G53 | PEAD                  | 400      | 58.46    | 0.0161    | 2.34      | 0.35 |
| G53-G52 | PEAD                  | 400      | 58.08    | 0.0088    | 1.89      | 0.41 |
| G52-G2  | PEAD                  | 500      | 58.1     | 0.0148    | 2.26      | 0.27 |
| G51-G40 | PEAD                  | 200      | 84.63    | 0.0412    | 1.14      | 0.1  |
| G50-G41 | PEAD                  | 200      | 82.07    | 0.0395    | 1.13      | 0.1  |
| G49-G48 | PEAD                  | 200      | 92.02    | 0.0654    | 1.34      | 0.09 |
| G48-G47 | PEAD                  | 200      | 90.52    | 0.0066    | 0.66      | 0.19 |
| G47-G46 | PEAD                  | 200      | 60.1     | 0.0286    | 1.21      | 0.15 |
| G46-G45 | PEAD                  | 200      | 61.02    | 0.0403    | 1.46      | 0.15 |
| G45-G44 | PEAD                  | 200      | 72.42    | 0.0042    | 0.69      | 0.3  |
| G44-G43 | PEAD                  | 200      | 15.13    | 0.004     | 0.69      | 0.31 |
| G43-G42 | PEAD                  | 200      | 77.38    | 0.0226    | 1.35      | 0.22 |
| G42-G41 | PEAD                  | 200      | 56.4     | 0.02      | 1.34      | 0.24 |
| G41-G40 | PEAD                  | 200      | 57.26    | 0.0027    | 0.69      | 0.46 |
| G40-G38 | PEAD                  | 200      | 60.28    | 0.0136    | 1.32      | 0.33 |
| G39-G38 | PEAD                  | 200      | 52.35    | 0.004     | 0.5       | 0.18 |
| G38-G37 | PEAD                  | 250      | 50.53    | 0.0015    | 0.6       | 0.47 |
| G37-G36 | PEAD                  | 250      | 50.57    | 0.0015    | 0.61      | 0.49 |
| G36-G35 | PEAD                  | 250      | 45.67    | 0.0014    | 0.6       | 0.51 |
| G35-G34 | PEAD                  | 250      | 32.05    | 0.0014    | 0.6       | 0.53 |
| G34-G33 | PEAD                  | 250      | 57.27    | 0.005     | 0.99      | 0.37 |
| G33-G32 | PEAD                  | 250      | 58.29    | 0.0357    | 2.03      | 0.23 |
| G32-G3  | PEAD                  | 250      | 60.41    | 0.02      | 1.67      | 0.27 |
| G31-G28 | PEAD                  | 200      | 62.29    | 0.0528    | 1.25      | 0.1  |
| G30-G29 | PEAD                  | 200      | 53.75    | 0.0424    | 1.16      | 0.1  |
| G29-G28 | PEAD                  | 200      | 56.03    | 0.0066    | 0.6       | 0.16 |
| G28-G27 | PEAD                  | 200      | 72.65    | 0.0302    | 1.24      | 0.15 |
| G27-G26 | PEAD                  | 200      | 50.7     | 0.0247    | 1.22      | 0.17 |
| G26-G4  | PEAD                  | 200      | 50.67    | 0.0053    | 0.74      | 0.27 |
| G25-G5  | PEAD                  | 200      | 59.05    | 0.0393    | 1.13      | 0.1  |
| G24-G10 | PEAD                  | 200      | 97.41    | 0.0197    | 0.88      | 0.12 |
| G23-G22 | PEAD                  | 200      | 69.37    | 0.0783    | 1.43      | 0.09 |
| G22-G21 | PEAD                  | 200      | 69.37    | 0.0085    | 0.67      | 0.15 |
| G21-G20 | PEAD                  | 200      | 55.98    | 0.0104    | 0.79      | 0.17 |

Tabla 5. Características de los tramos alcantarillado. Continuación.

| is        | <b>NA</b> . 1 | Diámetro | Longitud | Pendiente | Velocidad | v/5  |
|-----------|---------------|----------|----------|-----------|-----------|------|
| ID        | Material      | (mm)     | (m)      | (m/m)     | (m/s)     | Y/D  |
| G20-G19   | PEAD          | 200      | 97.9     | 0.006     | 0.74      | 0.24 |
| G19-G18   | PEAD          | 200      | 97.87    | 0.0149    | 1.11      | 0.22 |
| G18-G17   | PEAD          | 200      | 79.91    | 0.0035    | 0.7       | 0.35 |
| G17-G15   | PEAD          | 200      | 59.86    | 0.0513    | 1.88      | 0.19 |
| G16-G15   | PEAD          | 200      | 43.06    | 0.0251    | 0.96      | 0.11 |
| G15-G11   | PEAD          | 200      | 56.45    | 0.0422    | 1.84      | 0.22 |
| G14-G13   | PEAD          | 200      | 58.9     | 0.004     | 0.5       | 0.18 |
| G13-G12   | PEAD          | 200      | 36.16    | 0.004     | 0.5       | 0.18 |
| G12-G11   | PEAD          | 200      | 54.72    | 0.0497    | 1.27      | 0.1  |
| G11-G10   | PEAD          | 200      | 57.33    | 0.0016    | 0.6       | 0.62 |
| G10-G7    | PEAD          | 250      | 59.97    | 0.0236    | 1.67      | 0.24 |
| G9-G8     | PEAD          | 200      | 50.19    | 0.004     | 0.5       | 0.18 |
| G8-G7     | PEAD          | 200      | 50.22    | 0.0066    | 0.6       | 0.16 |
| G7-G6     | PEAD          | 250      | 55.86    | 0.0264    | 1.81      | 0.25 |
| G6-G5     | PEAD          | 250      | 55.97    | 0.0143    | 1.48      | 0.3  |
| G5-G4     | PEAD          | 250      | 58.47    | 0.0133    | 1.48      | 0.32 |
| G4-G3     | PEAD          | 250      | 58.44    | 0.0079    | 1.31      | 0.42 |
| G3-G2     | PEAD          | 315      | 59.38    | 0.0276    | 2.37      | 0.29 |
| G2-G1     | PEAD          | 500      | 24.35    | 0.0012    | 0.99      | 0.7  |
| G1-G0     | PEAD          | 500      | 30.83    | 0.0012    | 0.99      | 0.7  |
| F115-F114 | PEAD          | 200      | 89.67    | 0.0619    | 1.32      | 0.09 |
| F114-F113 | PEAD          | 200      | 61.08    | 0.0354    | 1.16      | 0.12 |
| F113-F112 | PEAD          | 200      | 61.08    | 0.0226    | 1.09      | 0.15 |
| F112-F111 | PEAD          | 200      | 61.08    | 0.0054    | 0.71      | 0.25 |
| F111-F110 | PEAD          | 200      | 61.08    | 0.0473    | 1.62      | 0.16 |
| F110-F109 | PEAD          | 200      | 97.18    | 0.0312    | 1.51      | 0.2  |
| F109-F1   | PEAD          | 200      | 97.18    | 0.0314    | 1.61      | 0.22 |
| F108-F107 | PEAD          | 200      | 58.23    | 0.004     | 0.5       | 0.18 |
| F107-F106 | PEAD          | 200      | 55.8     | 0.0441    | 1.17      | 0.1  |
| F106-F105 | PEAD          | 200      | 51.17    | 0.0609    | 1.44      | 0.11 |
| F105-F104 | PEAD          | 200      | 38.02    | 0.0066    | 0.7       | 0.2  |
| F104-F103 | PEAD          | 200      | 60.77    | 0.0138    | 0.98      | 0.19 |
| G91-G90   | PEAD          | 250      | 50.08    | 0.0428    | 1.9       | 0.18 |

Tabla 6. Características de los tramos alcantarillado. Continuación.

|           |          | Diámetro | Longitud | Pendiente | Velocidad |      |
|-----------|----------|----------|----------|-----------|-----------|------|
| ID        | Material | (mm)     | (m)      | (m/m)     | (m/s)     | Y/D  |
| F103-F102 | PEAD     | 200      | 60.76    | 0.0291    | 1.36      | 0.18 |
| F102-F101 | PEAD     | 200      | 64.79    | 0.0395    | 1.59      | 0.18 |
| F101-F64  | PEAD     | 200      | 70.66    | 0.0382    | 1.66      | 0.2  |
| F100-F99  | PEAD     | 200      | 48.74    | 0.0934    | 1.52      | 0.08 |
| F99-F98   | PEAD     | 200      | 61.66    | 0.0605    | 1.31      | 0.09 |
| F98-F97   | PEAD     | 200      | 59.19    | 0.0426    | 1.28      | 0.12 |
| F97-F96   | PEAD     | 200      | 92.16    | 0.036     | 1.37      | 0.15 |
| F96-F95   | PEAD     | 200      | 53.65    | 0.0274    | 1.32      | 0.18 |
| F95-F65   | PEAD     | 250      | 82.75    | 0.0196    | 1.22      | 0.16 |
| F94-F93   | PEAD     | 200      | 93.31    | 0.0819    | 1.45      | 0.09 |
| F93-F92   | PEAD     | 200      | 93.28    | 0.0715    | 1.58      | 0.11 |
| F92-F91   | PEAD     | 200      | 71.78    | 0.056     | 1.6       | 0.14 |
| F91-F67   | PEAD     | 200      | 71.75    | 0.0145    | 1.07      | 0.21 |
| F90-F89   | PEAD     | 200      | 54.57    | 0.0805    | 1.44      | 0.09 |
| F89-F88   | PEAD     | 200      | 54.58    | 0.1263    | 1.69      | 0.08 |
| F88-F87   | PEAD     | 200      | 54.61    | 0.0163    | 0.9       | 0.15 |
| F87-F86   | PEAD     | 200      | 54.57    | 0.0478    | 1.44      | 0.13 |
| F86-F85   | PEAD     | 200      | 54.37    | 0.0416    | 1.46      | 0.15 |
| F85-F68   | PEAD     | 200      | 54.4     | 0.0375    | 1.49      | 0.17 |
| F84-F83   | PEAD     | 200      | 25.97    | 0.1032    | 1.58      | 0.08 |
| F83-F82   | PEAD     | 200      | 59.32    | 0.0035    | 0.48      | 0.18 |
| F82-F81   | PEAD     | 200      | 59.34    | 0.0035    | 0.51      | 0.2  |
| F81-F76   | PEAD     | 200      | 63.4     | 0.0123    | 0.88      | 0.18 |
| F80-F79   | PEAD     | 200      | 87.95    | 0.0066    | 0.6       | 0.16 |
| F79-F78   | PEAD     | 200      | 83.61    | 0.0035    | 0.53      | 0.22 |
| F78-F77   | PEAD     | 200      | 56.11    | 0.0035    | 0.58      | 0.25 |
| F77-F76   | PEAD     | 200      | 64.97    | 0.0035    | 0.62      | 0.29 |
| F76-F75   | PEAD     | 200      | 18.53    | 0.0311    | 1.59      | 0.22 |
| F75-F74   | PEAD     | 200      | 40.71    | 0.004     | 0.78      | 0.39 |
| F74-F73   | PEAD     | 200      | 64.01    | 0.0434    | 1.87      | 0.22 |
| F73-F72   | PEAD     | 200      | 64.04    | 0.0623    | 2.19      | 0.21 |
| F72-F71   | PEAD     | 200      | 64.04    | 0.0406    | 1.93      | 0.24 |
| F71-F70   | PEAD     | 200      | 64.01    | 0.0195    | 1.52      | 0.31 |

Tabla 7. Características de los tramos alcantarillado. Continuación.

|         |          | Diámetro | Longitud | Pendiente | Velocidad |      |
|---------|----------|----------|----------|-----------|-----------|------|
| ID      | Material | (mm)     | (m)      | (m/m)     | (m/s)     | Y/D  |
| F70-F69 | PEAD     | 200      | 86.93    | 0.0757    | 2.54      | 0.23 |
| F69-F68 | PEAD     | 250      | 79.01    | 0.0019    | 0.68      | 0.46 |
| F68-F67 | PEAD     | 250      | 60.42    | 0.016     | 1.62      | 0.32 |
| F67-F66 | PEAD     | 315      | 40.38    | 0.0171    | 1.74      | 0.25 |
| F66-F65 | PEAD     | 315      | 67.99    | 0.013     | 1.59      | 0.28 |
| F65-F64 | PEAD     | 315      | 78.35    | 0.0107    | 1.59      | 0.33 |
| F64-F1  | PEAD     | 315      | 84.27    | 0.006     | 1.36      | 0.43 |
| F63-F62 | PEAD     | 200      | 69.81    | 0.113     | 1.63      | 0.08 |
| F62-F61 | PEAD     | 200      | 59.87    | 0.0409    | 1.16      | 0.1  |
| F61-F60 | PEAD     | 200      | 60.48    | 0.0278    | 1.14      | 0.14 |
| F60-F59 | PEAD     | 200      | 79.8     | 0.0082    | 0.82      | 0.22 |
| F59-F58 | PEAD     | 200      | 64.54    | 0.0259    | 1.31      | 0.19 |
| F58-F57 | PEAD     | 200      | 81.43    | 10.072    | 1.21      | 0.23 |
| F57-F56 | PEAD     | 200      | 57.29    | 0.0098    | 1.03      | 0.28 |
| F56-F2  | PEAD     | 200      | 57.1     | 0.061     | 2.04      | 0.19 |
| F55-F41 | PEAD     | 200      | 54.11    | 0.0335    | 1.06      | 0.11 |
| F54-F53 | PEAD     | 200      | 69.6     | 0.1073    | 1.6       | 0.08 |
| F53-F52 | PEAD     | 200      | 69.57    | 0.0379    | 1.16      | 0.11 |
| F52-F51 | PEAD     | 200      | 69.6     | 0.0231    | 1.1       | 0.15 |
| F51-F50 | PEAD     | 200      | 69.6     | 0.0635    | 1.7       | 0.14 |
| F50-F44 | PEAD     | 200      | 52.64    | 0.0266    | 1.32      | 0.18 |
| F49-F48 | PEAD     | 200      | 82.71    | 0.3695    | 2.46      | 0.06 |
| F48-F47 | PEAD     | 200      | 82.71    | 0.0531    | 1.37      | 0.11 |
| F47-F46 | PEAD     | 200      | 82.71    | 0.0278    | 1.23      | 0.16 |
| F46-F45 | PEAD     | 200      | 82.68    | 0.0167    | 1.12      | 0.21 |
| F45-F44 | PEAD     | 200      | 61.38    | 0.0608    | 1.86      | 0.16 |
| F44-F42 | PEAD     | 200      | 82.88    | 0.0035    | 0.82      | 0.49 |
| F43-F42 | PEAD     | 200      | 53.16    | 0.0295    | 1.02      | 0.11 |
| F42-F41 | PEAD     | 200      | 56.64    | 0.051     | 2.24      | 0.26 |
| F41-F4  | PEAD     | 250      | 55.09    | 0.0014    | 0.61      | 0.54 |
| F40-F39 | PEAD     | 200      | 90.93    | 0.0985    | 1.55      | 0.08 |
| F39-F38 | PEAD     | 200      | 90.96    | 0.0345    | 1.21      | 0.13 |
| F38-F37 | PEAD     | 200      | 73.98    | 0.0035    | 0.6       | 0.27 |
| F37-F36 | PEAD     | 200      | 74.01    | 0.0055    | 0.76      | 0.27 |

Tabla 8. Características de los tramos alcantarillado. Continuación.

|         | 0.0.1    | Diámetro | Longitud | Pendiente | Velocidad | V/D  |
|---------|----------|----------|----------|-----------|-----------|------|
| ID      | Material | (mm)     | (m)      | (m/m)     | (m/s)     | Y/D  |
| F36-F35 | PEAD     | 200      | 61.78    | 0.1002    | 2.22      | 0.14 |
| F35-F34 | PEAD     | 200      | 62.82    | 0.0027    | 0.64      | 0.39 |
| F34-F13 | PEAD     | 200      | 62.82    | 0.0064    | 0.91      | 0.33 |
| F33-F32 | PEAD     | 200      | 90.36    | 0.0632    | 1.33      | 0.09 |
| F32-F31 | PEAD     | 200      | 90.33    | 0.0435    | 1.31      | 0.12 |
| F31-F30 | PEAD     | 200      | 84.43    | 0.0296    | 1.29      | 0.16 |
| F30-F29 | PEAD     | 200      | 86.07    | 0.0395    | 1.55      | 0.17 |
| F29-F14 | PEAD     | 200      | 86.07    | 0.0135    | 1.13      | 0.25 |
| F28-F27 | PEAD     | 200      | 69.54    | 0.0493    | 1.22      | 0.1  |
| F27-F26 | PEAD     | 200      | 49.97    | 0.004     | 0.5       | 0.18 |
| F26-F25 | PEAD     | 200      | 50       | 0.071     | 1.53      | 0.1  |
| F25-F24 | PEAD     | 200      | 49.97    | 0.022     | 1.1       | 0.16 |
| F24-F23 | PEAD     | 200      | 49.97    | 0.0055    | 0.71      | 0.24 |
| F23-F22 | PEAD     | 200      | 48       | 0.0283    | 1.33      | 0.18 |
| F22-F15 | PEAD     | 200      | 65.95    | 0.0294    | 1.43      | 0.19 |
| F21-F20 | PEAD     | 200      | 52.71    | 0.0607    | 1.31      | 0.09 |
| F20-F19 | PEAD     | 200      | 68.17    | 0.0537    | 1.25      | 0.1  |
| F19-F18 | PEAD     | 200      | 68.17    | 0.0277    | 1.14      | 0.14 |
| F18-F17 | PEAD     | 200      | 68.17    | 0.0214    | 1.14      | 0.17 |
| F17-F16 | PEAD     | 200      | 68.2     | 0.0089    | 0.89      | 0.24 |
| F16-F15 | PEAD     | 200      | 82.16    | 0.0385    | 1.6       | 0.19 |
| F15-F14 | PEAD     | 200      | 72.16    | 0.0143    | 1.4       | 0.35 |
| F14-F13 | PEAD     | 200      | 61.77    | 0.0059    | 1.14      | 0.58 |
| F13-F5  | PEAD     | 315      | 57.85    | 0.001     | 0.68      | 0.56 |
| F12-F11 | PEAD     | 200      | 80.25    | 0.1191    | 1.66      | 0.08 |
| F11-F10 | PEAD     | 200      | 59.09    | 0.004     | 0.53      | 0.19 |
| F10-F9  | PEAD     | 200      | 83.36    | 0.004     | 0.6       | 0.24 |
| F9-F8   | PEAD     | 200      | 83.33    | 0.038     | 1.47      | 0.16 |
| F8-F7   | PEAD     | 200      | 71.6     | 0.0704    | 1.94      | 0.15 |
| F7-F6   | PEAD     | 200      | 58.63    | 0.002     | 0.57      | 0.41 |
| F6-F5   | PEAD     | 200      | 58.6     | 0.0021    | 0.6       | 0.43 |
| F5-F4   | PEAD     | 315      | 59.88    | 001       | 0.72      | 0.66 |
| F4-F3   | PEAD     | 400      | 59.1     | 0.0006    | 0.79      | 0.55 |
| F3-F2   | PEAD     | 400      | 60.54    | 0.0006    | 0.8       | 0.55 |
| F2-F1   | PEAD     | 400      | 54.71    | 0.0006    | 0.82      | 0.61 |

Tabla 9. Características de los tramos alcantarillado. Continuación.

|         |          | Diámetro | Longitud | Pendiente | Velocidad |      |
|---------|----------|----------|----------|-----------|-----------|------|
| ID      | Material | (mm)     | (m)      | (m/m)     | (m/s)     | Y/D  |
| F1-F0   | PEAD     | 500      | 18.79    | 0.0012    | 0.95      | 0.61 |
| E96-E1  | PEAD     | 200      | 67.65    | 0.0059    | 0.58      | 0.16 |
| E95-E94 | PEAD     | 200      | 69.77    | 0.019     | 0.89      | 0.12 |
| E94-E90 | PEAD     | 200      | 69.74    | 0.0247    | 0.97      | 0.12 |
| E93-E92 | PEAD     | 200      | 50.8     | 0.0667    | 1.35      | 0.09 |
| E92-E91 | PEAD     | 200      | 50.77    | 0.1373    | 1.74      | 0.08 |
| E91-E90 | PEAD     | 200      | 92.77    | 0.0039    | 0.56      | 0.22 |
| E90-E83 | PEAD     | 200      | 84.61    | 0.0297    | 1.44      | 0.19 |
| E89-E88 | PEAD     | 200      | 59.81    | 0.1095    | 1.61      | 0.08 |
| E88-E87 | PEAD     | 200      | 59.78    | 0.0768    | 1.42      | 0.09 |
| E87-E86 | PEAD     | 200      | 59.78    | 0.01      | 0.77      | 0.17 |
| E86-E85 | PEAD     | 200      | 59.78    | 0.0033    | 0.56      | 0.25 |
| E85-E84 | PEAD     | 200      | 89.72    | 0.0026    | 0.56      | 0.32 |
| E84-E83 | PEAD     | 200      | 89.75    | 0.0022    | 0.56      | 0.38 |
| E83-E75 | PEAD     | 200      | 88.19    | 0.0042    | 0.89      | 0.49 |
| E82-E81 | PEAD     | 200      | 58.79    | 0.0569    | 1.28      | 0.09 |
| E81-E80 | PEAD     | 200      | 58.82    | 0.0058    | 0.58      | 0.16 |
| E80-E79 | PEAD     | 200      | 58.82    | 0.0716    | 1.52      | 0.1  |
| E79-E78 | PEAD     | 200      | 58.79    | 0.0219    | 1.09      | 0.16 |
| E78-E77 | PEAD     | 200      | 80.26    | 0.027     | 0.56      | 0.31 |
| E77-E76 | PEAD     | 200      | 80.23    | 0.023     | 0.56      | 0.36 |
| E76-E75 | PEAD     | 200      | 56.19    | 0.0025    | 0.6       | 0.38 |
| E75-E74 | PEAD     | 200      | 50.76    | 0.0092    | 1.33      | 0.5  |
| E74-E65 | PEAD     | 250      | 50.76    | 0.0185    | 1.72      | 0.31 |
| E73-E72 | PEAD     | 200      | 65.29    | 0.0796    | 1.44      | 0.09 |
| E72-E71 | PEAD     | 200      | 93.68    | 0.0472    | 1.27      | 0.11 |
| E71-E70 | PEAD     | 200      | 93.66    | 0.0695    | 1.67      | 0.12 |
| E70-E69 | PEAD     | 200      | 89.22    | 0.0046    | 0.7       | 0.28 |
| E69-E68 | PEAD     | 200      | 64.62    | 0.0022    | 0.56      | 0.37 |
| E68-E67 | PEAD     | 200      | 64.62    | 0.062     | 1.93      | 0.17 |
| E67-E66 | PEAD     | 200      | 64.62    | 0.0746    | 2.14      | 0.17 |
| E66-E65 | PEAD     | 200      | 64.62    | 0.004     | 0.78      | 0.39 |
| E65-E64 | PEAD     | 315      | 57.1     | 0.0607    | 2.84      | 0.2  |
| E64-E3  | PEAD     | 315      | 57.07    | 0.0368    | 2.39      | 0.23 |
| E63-E62 | PEAD     | 200      | 33.91    | 0.0316    | 1.04      | 0.11 |

Tabla 10. Características de los tramos alcantarillado. Continuación.

|         |          | Diámetro | Longitud | Pendiente | Velocidad |      |
|---------|----------|----------|----------|-----------|-----------|------|
| ID      | Material | (mm)     | (m)      | (m/m)     | (m/s)     | Y/D  |
| E62-E61 | PEAD     | 200      | 55.75    | 0.0644    | 1.34      | 0.09 |
| E61-E60 | PEAD     | 200      | 20.56    | 0.0379    | 1.11      | 0.1  |
| E60-E4  | PEAD     | 200      | 66.28    | 0.0049    | 0.6       | 0.2  |
| E59-E58 | PEAD     | 200      | 16.37    | 0.004     | 0.5       | 0.18 |
| E58-E57 | PEAD     | 200      | 15.27    | 0.004     | 0.5       | 0.18 |
| E57-E7  | PEAD     | 200      | 32.52    | 0.004     | 0.5       | 0.18 |
| E56-E55 | PEAD     | 200      | 36.12    | 0.004     | 0.5       | 0.18 |
| E55-E54 | PEAD     | 200      | 98.15    | 0.0146    | 0.8       | 0.13 |
| E54-E53 | PEAD     | 200      | 38.92    | 0.0146    | 0.87      | 0.15 |
| E53-E8  | PEAD     | 200      | 69.17    | 0.024     | 1.14      | 0.16 |
| E52-E51 | PEAD     | 200      | 48.76    | 0.0148    | 0.8       | 0.13 |
| E51-E50 | PEAD     | 200      | 74.8     | 0.0258    | 0.97      | 0.11 |
| E50-E49 | PEAD     | 200      | 25.8     | 0.0202    | 0.93      | 0.13 |
| E49-E48 | PEAD     | 200      | 18.1     | 0.0044    | 0.56      | 0.2  |
| E48-E47 | PEAD     | 200      | 20.73    | 0.0039    | 0.56      | 0.21 |
| E47-E46 | PEAD     | 200      | 18.92    | 0.0037    | 0.56      | 0.23 |
| E46-E9  | PEAD     | 200      | 61.99    | 0.0199    | 1.1       | 0.17 |
| E45-E44 | PEAD     | 200      | 61.71    | 0.0551    | 1.27      | 0.09 |
| E44-E43 | PEAD     | 200      | 76.65    | 0.004     | 0.51      | 0.18 |
| E43-E42 | PEAD     | 200      | 41.85    | 0.0515    | 1.36      | 0.11 |
| E42-E10 | PEAD     | 200      | 47.49    | 0.044     | 1.38      | 0.13 |
| E41-E40 | PEAD     | 200      | 85.57    | 0.043     | 1.16      | 0.1  |
| E40-E39 | PEAD     | 200      | 51.31    | 0.0534    | 1.27      | 0.1  |
| E39-E11 | PEAD     | 200      | 86.46    | 0.0784    | 1.68      | 0.11 |
| E38-E37 | PEAD     | 200      | 69.94    | 0.0177    | 0.85      | 0.12 |
| E37-E36 | PEAD     | 200      | 68.02    | 0.0994    | 1.58      | 0.08 |
| E36-E12 | PEAD     | 200      | 65.87    | 0.0859    | 1.69      | 0.11 |
| E35-E34 | PEAD     | 200      | 65.49    | 0.0904    | 1.51      | 0.08 |
| E34-E13 | PEAD     | 200      | 65.47    | 0.0755    | 1.41      | 0.09 |
| E33-E32 | PEAD     | 200      | 52.43    | 0.0456    | 1.18      | 0.1  |
| E32-E31 | PEAD     | 200      | 41.56    | 0.0592    | 1.3       | 0.09 |
| E31-E30 | PEAD     | 200      | 39.6     | 0.1099    | 1.62      | 0.08 |
| E30-E15 | PEAD     | 200      | 15.74    | 0.0426    | 1.2       | 0.11 |
| E29-E28 | PEAD     | 200      | 20.38    | 0.1011    | 1.57      | 0.08 |
| E28-E19 | PEAD     | 200      | 47.06    | 0.038     | 1.11      | 0.1  |

Tabla 11. Características de los tramos alcantarillado. Continuación.

|         |          | Diámetro | Longitud | Pendiente | Velocidad |      |
|---------|----------|----------|----------|-----------|-----------|------|
| ID      | Material | (mm)     | (m)      | (m/m)     | (m/s)     | Y/D  |
| E27-E26 | PEAD     | 200      | 57.17    | 0.0408    | 1.14      | 0.1  |
| E26-E21 | PEAD     | 200      | 62.63    | 0.0444    | 1.17      | 0.1  |
| E25-E24 | PEAD     | 200      | 67.69    | 0.004     | 0.5       | 0.18 |
| E24-E23 | PEAD     | 200      | 51.25    | 0.004     | 0.5       | 0.18 |
| E23-E22 | PEAD     | 200      | 25.01    | 0.004     | 0.52      | 0.19 |
| E22-E21 | PEAD     | 200      | 65.39    | 0.0248    | 1.1       | 0.14 |
| E21-E20 | PEAD     | 200      | 79.98    | 0.0373    | 1.55      | 0.18 |
| E20-E19 | PEAD     | 200      | 66.92    | 0.0022    | 0.59      | 0.4  |
| E19-E18 | PEAD     | 200      | 63.07    | 0.002     | 0.61      | 0.47 |
| E18-E17 | PEAD     | 200      | 63.1     | 0.002     | 0.62      | 0.5  |
| E17-E16 | PEAD     | 200      | 78.88    | 0.002     | 0.64      | 0.54 |
| E16-E15 | PEAD     | 200      | 74.9     | 0.0253    | 1.66      | 0.28 |
| E15-E14 | PEAD     | 200      | 25.58    | 0.0332    | 1.93      | 0.29 |
| E14-E13 | PEAD     | 200      | 36.11    | 0.0239    | 1.73      | 0.32 |
| E13-E12 | PEAD     | 250      | 97.66    | 0.0133    | 1.46      | 0.31 |
| E12-E11 | PEAD     | 250      | 53.8     | 0.002     | 0.76      | 0.58 |
| E11-E10 | PEAD     | 250      | 43.95    | 0.002     | 0.79      | 0.65 |
| E10-E9  | PEAD     | 315      | 44.27    | 0.0405    | 2.43      | 0.22 |
| E9-E8   | PEAD     | 315      | 44       | 0.0579    | 2.88      | 0.21 |
| E8-E7   | PEAD     | 315      | 12.13    | 0.0693    | 3.16      | 0.21 |
| E7-E6   | PEAD     | 315      | 47.6     | 0.0771    | 3.32      | 0.21 |
| E6-E5   | PEAD     | 315      | 91.41    | 0.0699    | 3.23      | 0.22 |
| E5-E4   | PEAD     | 315      | 60.84    | 0.0269    | 2.32      | 0.28 |
| E4-E3   | PEAD     | 315      | 77.08    | 0.0592    | 3.14      | 0.24 |
| E3-E2   | PEAD     | 400      | 70.69    | 0.0012    | 0.85      | 0.69 |
| E2-E1   | PEAD     | 400      | 70.69    | 0.0148    | 2.19      | 0.33 |
| E1-E0   | PEAD     | 400      | 83.78    | 0.0384    | 3.11      | 0.26 |
| D4-D3   | PEAD     | 200      | 84.73    | 0.004     | 0.5       | 0.18 |
| D3-D2   | PEAD     | 200      | 91.9     | 0.0361    | 1.22      | 0.13 |
| D2-D1   | PEAD     | 200      | 91.92    | 0.0492    | 1.54      | 0.14 |
| D1-D0   | PEAD     | 200      | 91.92    | 0.0109    | 0.99      | 0.24 |
| C8-C1   | PEAD     | 200      | 58.71    | 0.0765    | 1.42      | 0.09 |
| C7-C5   | PEAD     | 200      | 26.19    | 0.0661    | 1.35      | 0.09 |
| C6-C5   | PEAD     | 200      | 48.38    | 0.0325    | 1.05      | 0.11 |
| C5-C3   | PEAD     | 200      | 34.34    | 0.0184    | 0.86      | 0.12 |

Tabla 12. Características de los tramos alcantarillado. Continuación.

|         |          | Diámetro | Longitud | Pendiente | Velocidad |      |
|---------|----------|----------|----------|-----------|-----------|------|
| ID      | Material | (mm)     | (m)      | (m/m)     | (m/s)     | Y/D  |
| C4-C3   | PEAD     | 200      | 34.11    | 0.0317    | 1.04      | 0.11 |
| C3-C1   | PEAD     | 200      | 78.21    | 0.0747    | 1.65      | 0.11 |
| C2-C1   | PEAD     | 200      | 53.78    | 0.004     | 0.5       | 0.18 |
| C1-C0   | PEAD     | 200      | 13.3     | 0.0031    | 0.6       | 0.31 |
| B16-B15 | PEAD     | 200      | 64.14    | 0.0136    | 0.78      | 0.13 |
| B15-B14 | PEAD     | 200      | 73.75    | 0.0066    | 0.62      | 0.17 |
| B14-B13 | PEAD     | 200      | 61.29    | 0.0189    | 1.01      | 0.16 |
| B13-B12 | PEAD     | 200      | 56.03    | 0.0371    | 1.38      | 0.15 |
| B12-B3  | PEAD     | 200      | 85.8     | 0.0094    | 0.92      | 0.24 |
| B11-B7  | PEAD     | 200      | 87.3     | 0.0537    | 1.25      | 0.1  |
| B10-B9  | PEAD     | 200      | 51.8     | 0.0452    | 1.18      | 0.1  |
| B9-B8   | PEAD     | 200      | 38.83    | 0.0242    | 0.95      | 0.12 |
| B8-B7   | PEAD     | 200      | 49.12    | 0.066     | 0.63      | 0.17 |
| B7-B6   | PEAD     | 200      | 81.34    | 0.0106    | 0.93      | 0.22 |
| B6-B5   | PEAD     | 200      | 81.37    | 0.0087    | 0.93      | 0.26 |
| B5-B4   | PEAD     | 200      | 81.37    | 0.0035    | 0.71      | 0.37 |
| B4-B3   | PEAD     | 200      | 81.35    | 0.0031    | 0.7       | 0.42 |
| B3-B2   | PEAD     | 200      | 30.63    | 0.0409    | 2.08      | 0.27 |
| B2-B1   | PEAD     | 200      | 73.78    | 0.0127    | 1.39      | 0.39 |
| B1-D0   | PEAD     | 200      | 73.71    | 0.0054    | 1.04      | 0.51 |
| A35-A34 | PEAD     | 200      | 30.6     | 0.0582    | 1.29      | 0.09 |
| A34-A33 | PEAD     | 200      | 10.62    | 0.0687    | 1.37      | 0.09 |
| A33-A32 | PEAD     | 200      | 38.19    | 0.0537    | 1.25      | 0.1  |
| A32-A2  | PEAD     | 200      | 43.14    | 0.0262    | 0.98      | 0.11 |
| A31-A30 | PEAD     | 200      | 34.67    | 0.0182    | 0.86      | 0.12 |
| A30-A29 | PEAD     | 200      | 12.93    | 0.0077    | 0.64      | 0.15 |
| A29-A28 | PEAD     | 200      | 47.54    | 0.0368    | 1.1       | 0.1  |
| A28-A3  | PEAD     | 200      | 50.23    | 0.0193    | 0.9       | 0.13 |
| A27-A26 | PEAD     | 200      | 31.18    | 0.0061    | 0.59      | 0.16 |
| A26-A25 | PEAD     | 200      | 58.71    | 0.004     | 0.5       | 0.18 |
| A25-A24 | PEAD     | 200      | 38.97    | 0.004     | 0.5       | 0.18 |
| A24-A8  | PEAD     | 200      | 41.41    | 0.0691    | 1.48      | 0.1  |
| A23-A16 | PEAD     | 200      | 68.92    | 0.0472    | 1.2       | 0.1  |
| A22-A21 | PEAD     | 200      | 51.68    | 0.0414    | 1.15      | 0.1  |
| A21-A20 | PEAD     | 200      | 51.7     | 0.0685    | 1.37      | 0.09 |

Tabla 13. Características de los tramos alcantarillado. Continuación.

| ID      | Material | Diámetro | Longitud | Pendiente | Velocidad | Y/D  |
|---------|----------|----------|----------|-----------|-----------|------|
|         | Wateria  | (mm)     | (m)      | (m/m)     | (m/s)     | .,,5 |
| A20-A17 | PEAD     | 200      | 43.88    | 0.0517    | 1.28      | 0.1  |
| A19-A18 | PEAD     | 200      | 51.96    | 0.0185    | 0.86      | 0.12 |
| A18-A17 | PEAD     | 200      | 60.02    | 0.0068    | 0.61      | 0.16 |
| A17-A16 | PEAD     | 200      | 41.82    | 0.2099    | 2.59      | 0.1  |
| A16-A14 | PEAD     | 200      | 42.02    | 0.0022    | 0.56      | 0.37 |
| A15-A14 | PEAD     | 200      | 75.17    | 0.004     | 0.5       | 0.18 |
| A14-A11 | PEAD     | 200      | 42.09    | 0.0653    | 2.04      | 0.18 |
| A13-A12 | PEAD     | 200      | 39.29    | 0.0166    | 0.83      | 0.13 |
| A12-A11 | PEAD     | 200      | 72.23    | 0.004     | 0.5       | 0.18 |
| A11-A10 | PEAD     | 200      | 44.91    | 0.0996    | 2.55      | 0.18 |
| A10-A9  | PEAD     | 200      | 77.97    | 2         | 0.64      | 0.54 |
| A9-A8   | PEAD     | 200      | 72.39    | 2         | 0.66      | 0.57 |
| A8-A4   | PEAD     | 250      | 43.67    | 74.08     | 2.54      | 0.18 |
| A7-A6   | PEAD     | 200      | 19.15    | 4         | 0.5       | 0.18 |
| A6-A5   | PEAD     | 200      | 80.83    | 4         | 0.5       | 0.18 |
| A5-A4   | PEAD     | 200      | 36.45    | 4         | 0.51      | 0.18 |
| A4-A3   | PEAD     | 250      | 46.87    | 63.38     | 2.52      | 0.21 |
| A3-A2   | PEAD     | 250      | 39.73    | 79.54     | 2.85      | 0.21 |
| A2-A1   | PEAD     | 250      | 51.94    | 9.63      | 1.38      | 0.38 |
| A1-A0   | PEAD     | 250      | 51.95    | 9.62      | 1.39      | 0.38 |

# Anexo 2. Variante 2.

Tabla 1. Características de los tramos.

| ID      | Material | Diámetro<br>(mm) | Longitud<br>(m) | Pendiente<br>(m/m) | Velocidad<br>(m/s) | Y/D  |
|---------|----------|------------------|-----------------|--------------------|--------------------|------|
| E37-E36 | PEAD     | 200              | 38,19           | 0,0537             | 1,25               | 0,14 |
| E36-E6  | PEAD     | 200              | 43,14           | 0,0262             | 0,98               | 0,14 |
| E35-E34 | PEAD     | 200              | 34,67           | 0,0182             | 0,86               | 0,14 |
| E34-E33 | PEAD     | 200              | 12,93           | 0,0077             | 0,64               | 0,14 |
| E33-E32 | PEAD     | 200              | 47,54           | 0,0368             | 1,10               | 0,14 |
| E32-E7  | PEAD     | 200              | 50,23           | 0,0193             | 0,88               | 0,14 |
| E31-E30 | PEAD     | 200              | 31,18           | 0,0061             | 0,59               | 0,16 |
| E30-E29 | PEAD     | 200              | 58,71           | 0,0040             | 0,50               | 0,18 |
| E29-E28 | PEAD     | 200              | 38,97           | 0,0040             | 0,50               | 0,18 |
| E28-E12 | PEAD     | 200              | 41,41           | 0,0691             | 1,42               | 0,14 |
| E27-E20 | PEAD     | 200              | 68,92           | 0,0472             | 1,20               | 0,14 |
| E26-E25 | PEAD     | 200              | 51,68           | 0,0414             | 1,15               | 0,14 |
| E25-E24 | PEAD     | 200              | 51,7 0          | 0,0685             | 1,37               | 0,14 |
| E24-E21 | PEAD     | 200              | 43,88           | 0,0517             | 1,24               | 0,14 |
| E23-E22 | PEAD     | 200              | 51,96           | 0,0185             | 0,86               | 0,14 |
| E22-E21 | PEAD     | 200              | 60,02           | 0,0068             | 0,61               | 0,16 |
| E21-E20 | PEAD     | 200              | 41,82           | 0,2099             | 2,49               | 0,14 |
| E20-E18 | PEAD     | 200              | 42,02           | 0,0022             | 0,54               | 0,35 |
| E19-E18 | PEAD     | 200              | 75,17           | 0,0040             | 0,50               | 0,18 |
| E18-E15 | PEAD     | 200              | 42,09           | 0,0653             | 1,96               | 0,17 |
| E17-E16 | PEAD     | 200              | 39,29           | 0,0165             | 0,83               | 0,14 |
| E16-E15 | PEAD     | 200              | 72,23           | 0,0040             | 0,50               | 0,18 |
| E15-E14 | PEAD     | 200              | 44,91           | 0,0995             | 2,45               | 0,17 |
| E14-E13 | PEAD     | 200              | 77,97           | 0,0020             | 0,62               | 0,50 |
| E13-E12 | PEAD     | 200              | 72,39           | 0,0020             | 0,64               | 0,53 |
| E12-E8  | PEAD     | 250              | 43,67           | 0,0741             | 2,44               | 0,17 |
| E11-E10 | PEAD     | 200              | 19,15           | 0,0040             | 0,50               | 0,18 |
| E10-E9  | PEAD     | 200              | 80,83           | 0,0040             | 0,50               | 0,18 |
| E9-E8   | PEAD     | 200              | 36,45           | 0,0040             | 0,50               | 0,18 |

Tabla 2. Características de los tramos. Continuación.

| ID        | Material | Diámetro<br>(mm) | Longitud<br>(m) | Pendiente<br>(m/m) | Velocidad<br>(m/s) | Y/D  |
|-----------|----------|------------------|-----------------|--------------------|--------------------|------|
| E8-E7     | PEAD     | 250              | 46,87           | 0,0634             | 2,42               | 0,19 |
| E7-E6     | PEAD     | 250              | 39,73           | 0,0795             | 2,74               | 0,19 |
| E6-E5     | PEAD     | 250              | 51,94           | 0,0096             | 1,33               | 0,35 |
| E5-E4     | PEAD     | 250              | 51,95           | 0,0096             | 1,34               | 0,36 |
| E4-E3     | PEAD     | 250              | 68,57           | 0,0294             | 2,02               | 0,27 |
| E3-E2     | PEAD     | 250              | 68,54           | 0,0294             | 2,04               | 0,28 |
| E2-E1     | PEAD     | 250              | 68,54           | 0,0294             | 2,07               | 0,28 |
| E1-E0     | PEAD     | 315              | 80,7            | 0,0259             | 1,95               | 0,22 |
| C267-C266 | PEAD     | 200              | 53,12           | 0,0074             | 0,63               | 0,15 |
| C266-C163 | PEAD     | 200              | 67,65           | 0,0065             | 0,60               | 0,16 |
| C265-C264 | PEAD     | 200              | 50,8            | 0,0667             | 1,35               | 0,14 |
| C264-C263 | PEAD     | 200              | 50,77           | 0,1373             | 1,74               | 0,14 |
| C263-C252 | PEAD     | 200              | 92,77           | 0,0039             | 0,54               | 0,20 |
| C262-C258 | PEAD     | 200              | 34,11           | 0,0317             | 1,04               | 0,14 |
| C261-C259 | PEAD     | 200              | 26,19           | 0,0661             | 1,35               | 0,14 |
| C260-C259 | PEAD     | 200              | 48,38           | 0,0325             | 1,05               | 0,14 |
| C259-C258 | PEAD     | 200              | 34,34           | 0,0184             | 0,86               | 0,14 |
| C258-C256 | PEAD     | 200              | 78,21           | 0,0747             | 1,58               | 0,14 |
| C257-C256 | PEAD     | 200              | 58,71           | 0,0765             | 1,42               | 0,14 |
| C256-C255 | PEAD     | 200              | 53,78           | 0,0034             | 0,60               | 0,28 |
| C255-C254 | PEAD     | 200              | 71,62           | 0,0029             | 0,60               | 0,32 |
| C254-C253 | PEAD     | 200              | 69,77           | 0,0040             | 0,70               | 0,32 |
| C253-C252 | PEAD     | 200              | 69,74           | 0,0040             | 0,73               | 0,34 |
| C252-C245 | PEAD     | 200              | 84,61           | 0,0256             | 1,60               | 0,26 |
| C251-C250 | PEAD     | 200              | 59,81           | 0,1095             | 1,61               | 0,08 |
| C250-C249 | PEAD     | 200              | 59,78           | 0,0768             | 1,42               | 0,09 |
| C249-C248 | PEAD     | 200              | 59,78           | 0,0100             | 0,74               | 0,16 |
| C248-C247 | PEAD     | 200              | 59,78           | 0,0033             | 0,54               | 0,24 |
| C247-C246 | PEAD     | 200              | 89,72           | 0,0025             | 0,54               | 0,30 |
| C246-C245 | PEAD     | 200              | 89,75           | 0,0022             | 0,54               | 0,35 |
| C245-C237 | PEAD     | 200              | 88,19           | 0,0042             | 0,94               | 0,56 |
| C244-C243 | PEAD     | 200              | 58,79           | 0,0570             | 1,28               | 0,14 |
| C243-C242 | PEAD     | 200              | 58,82           | 0,0058             | 0,58               | 0,16 |
| C242-C241 | PEAD     | 200              | 58,82           | 0,0716             | 1,46               | 0,14 |

Tabla 3. Características de los tramos. Continuación.

| ID        | Material | Diámetro<br>(mm) | Longitud<br>(m) | Pendiente<br>(m/m) | Velocidad<br>(m/s) | Y/D  |
|-----------|----------|------------------|-----------------|--------------------|--------------------|------|
| C241-C240 | PEAD     | 200              | 58,79           | 0,0219             | 1,05               | 0,15 |
| C240-C239 | PEAD     | 200              | 80,26           | 0,0027             | 0,54               | 0,29 |
| C239-C238 | PEAD     | 200              | 80,23           | 0,0023             | 0,54               | 0,34 |
| C238-C237 | PEAD     | 200              | 56,19           | 0,0027             | 0,6                | 0,34 |
| C237-C236 | PEAD     | 200              | 50,76           | 0,0092             | 1,37               | 0,53 |
| C236-C227 | PEAD     | 250              | 50,76           | 0,0185             | 1,77               | 0,32 |
| C235-C234 | PEAD     | 200              | 65,29           | 0,0796             | 1,44               | 0,14 |
| C234-C233 | PEAD     | 200              | 93,68           | 0,0472             | 1,22               | 0,14 |
| C233-C232 | PEAD     | 200              | 93,66           | 0,0695             | 1,60               | 0,14 |
| C232-C231 | PEAD     | 200              | 89,22           | 0,0046             | 0,67               | 0,26 |
| C231-C230 | PEAD     | 200              | 64,62           | 0,0022             | 0,54               | 0,34 |
| C230-C229 | PEAD     | 200              | 64,62           | 0,0620             | 1,86               | 0,16 |
| C229-C228 | PEAD     | 200              | 64,62           | 0,0746             | 2,06               | 0,16 |
| C228-C227 | PEAD     | 200              | 64,62           | 0,0040             | 0,75               | 0,36 |
| C227-C226 | PEAD     | 315              | 57,1            | 0,0607             | 2,87               | 0,20 |
| C226-C165 | PEAD     | 315              | 57,07           | 0,0368             | 2,42               | 0,23 |
| C225-C224 | PEAD     | 200              | 33,91           | 0,0315             | 1,04               | 0,14 |
| C224-C223 | PEAD     | 200              | 55,75           | 0,0644             | 1,34               | 0,14 |
| C223-C222 | PEAD     | 200              | 20,56           | 0,0380             | 1,11               | 0,14 |
| C222-C166 | PEAD     | 200              | 66,28           | 0,0050             | 0,57               | 0,18 |
| C221-C220 | PEAD     | 200              | 16,37           | 0,0040             | 0,50               | 0,18 |
| C220-C219 | PEAD     | 200              | 15,27           | 0,0040             | 0,50               | 0,18 |
| C219-C169 | PEAD     | 200              | 32,52           | 0,0040             | 0,50               | 0,18 |
| C218-C217 | PEAD     | 200              | 36,12           | 0,0040             | 0,50               | 0,18 |
| C217-C216 | PEAD     | 200              | 98,15           | 0,0147             | 0,80               | 0,13 |
| C216-C215 | PEAD     | 200              | 38,92           | 0,0146             | 0,83               | 0,14 |
| C215-C170 | PEAD     | 200              | 69,17           | 0,0240             | 1,09               | 0,15 |
| C214-C213 | PEAD     | 200              | 48,76           | 0,0148             | 0,80               | 0,14 |
| C211-C210 | PEAD     | 200              | 18,1            | 0,0044             | 0,54               | 0,14 |
| C210-C209 | PEAD     | 200              | 20,73           | 0,0040             | 0,54               | 0,20 |
| C209-C208 | PEAD     | 200              | 18,92           | 0,0037             | 0,54               | 0,21 |

Tabla 4. Características de los tramos. Continuación.

| ID        | Material | Diámetro<br>(mm) | Longitud<br>(m) | Pendiente<br>(m/m) | Velocidad<br>(m/s) | Y/D  |
|-----------|----------|------------------|-----------------|--------------------|--------------------|------|
| C208-C171 | PEAD     | 200              | 61,99           | 0,0020             | 1,05               | 0,16 |
| C207-C206 | PEAD     | 200              | 61,71           | 0,0551             | 1,27               | 0,09 |
| C206-C205 | PEAD     | 200              | 76,65           | 0,0040             | 0,50               | 0,18 |
| C205-C204 | PEAD     | 200              | 41,85           | 0,0515             | 1,31               | 0,14 |
| C204-C172 | PEAD     | 200              | 47,49           | 0,0440             | 1,33               | 0,14 |
| C203-C202 | PEAD     | 200              | 85,57           | 0,0430             | 1,16               | 0,14 |
| C202-C201 | PEAD     | 200              | 51,31           | 0,0534             | 1,25               | 0,14 |
| C201-C173 | PEAD     | 200              | 86,46           | 0,0784             | 1,61               | 0,14 |
| C200-C199 | PEAD     | 200              | 69,94           | 0,0177             | 0,85               | 0,14 |
| C199-C198 | PEAD     | 200              | 68,02           | 0,0994             | 1,56               | 0,14 |
| C198-C174 | PEAD     | 200              | 65,87           | 0,0859             | 1,62               | 0,14 |
| C197-C196 | PEAD     | 200              | 65,49           | 0,0904             | 1,51               | 0,14 |
| C196-C175 | PEAD     | 200              | 65,47           | 0,0755             | 1,41               | 0,14 |
| C195-C194 | PEAD     | 200              | 52,43           | 0,0456             | 1,18               | 0,14 |
| C194-C193 | PEAD     | 200              | 41,56           | 0,0592             | 1,30               | 0,14 |
| C193-C192 | PEAD     | 200              | 39,60           | 0,1099             | 1,61               | 0,14 |
| C192-C177 | PEAD     | 200              | 15,74           | 0,0426             | 1,16               | 0,14 |
| C191-C190 | PEAD     | 200              | 20,38           | 0,1011             | 1,57               | 0,14 |
| C190-C181 | PEAD     | 200              | 47,06           | 0,0381             | 1,11               | 0,14 |
| C189-C188 | PEAD     | 200              | 57,17           | 0,0408             | 1,14               | 0,14 |
| C188-C183 | PEAD     | 200              | 62,63           | 0,0444             | 1,17               | 0,14 |
| C187-C186 | PEAD     | 200              | 67,69           | 0,0040             | 0,50               | 0,18 |
| C186-C185 | PEAD     | 200              | 51,25           | 0,0040             | 0,50               | 0,18 |
| C185-C184 | PEAD     | 200              | 25,01           | 0,0040             | 0,50               | 0,18 |
| C184-C183 | PEAD     | 200              | 65,39           | 0,0249             | 1,06               | 0,13 |
| C183-C182 | PEAD     | 200              | 79,98           | 0,0373             | 1,49               | 0,17 |
| C182-C181 | PEAD     | 200              | 66,92           | 0,0022             | 0,57               | 0,37 |
| C181-C180 | PEAD     | 200              | 63,07           | 0,0020             | 0,59               | 0,44 |
| C180-C179 | PEAD     | 200              | 63,10           | 0,0020             | 0,60               | 0,46 |
| C179-C178 | PEAD     | 200              | 78,88           | 0,0020             | 0,62               | 0,49 |
| C178-C177 | PEAD     | 200              | 74,90           | 0,0253             | 1,59               | 0,26 |
| C177-C176 | PEAD     | 200              | 25,58           | 0,0332             | 1,86               | 0,27 |

Tabla 5. Características de los tramos. Continuación.

| ID        | Material | Diámetro<br>(mm) | Longitud<br>(m) | Pendiente<br>(m/m) | Velocidad<br>(m/s) | Y/D  |
|-----------|----------|------------------|-----------------|--------------------|--------------------|------|
| C176-C175 | PEAD     | 200              | 36,11           | 0,0239             | 1,66               | 0,30 |
| C175-C174 | PEAD     | 250              | 97,66           | 0,0133             | 1,40               | 0,29 |
| C174-C173 | PEAD     | 250              | 53,8            | 0,0020             | 0,74               | 0,54 |
| C173-C172 | PEAD     | 250              | 43,95           | 0,0020             | 0,77               | 0,59 |
| C172-C171 | PEAD     | 315              | 44,27           | 0,0403             | 2,34               | 0,20 |
| C171-C170 | PEAD     | 315              | 44              | 0,0578             | 2,77               | 0,20 |
| C170-C169 | PEAD     | 315              | 12,13           | 0,0693             | 3,04               | 0,20 |
| C169-C168 | PEAD     | 315              | 47,60           | 0,0771             | 3,19               | 0,20 |
| C168-C167 | PEAD     | 315              | 91,41           | 0,0699             | 3,11               | 0,21 |
| C167-C166 | PEAD     | 315              | 60,84           | 0,0270             | 2,23               | 0,26 |
| C166-C165 | PEAD     | 315              | 77,08           | 0,05916            | 3,02               | 0,23 |
| C165-C164 | PEAD     | 400              | 70,69           | 0,0012             | 0,84               | 0,66 |
| C164-C163 | PEAD     | 400              | 70,69           | 0,01475            | 2,15               | 0,32 |
| C163-C1   | PEAD     | 400              | 92,87           | 0,03439            | 2,94               | 0,26 |
| C162-C161 | PEAD     | 200              | 45,94           | 0,0111             | 0,72               | 0,14 |
| C161-C6   | PEAD     | 200              | 97,17           | 0,0066             | 0,60               | 0,16 |
| C160-C159 | PEAD     | 200              | 47,39           | 0,0468             | 1,20               | 0,14 |
| C159-C158 | PEAD     | 200              | 38,85           | 0,0535             | 1,25               | 0,14 |
| C158-C157 | PEAD     | 200              | 50,40           | 0,0065             | 0,60               | 0,16 |
| C157-C7   | PEAD     | 200              | 50,40           | 0,0085             | 0,70               | 0,16 |
| C156-C153 | PEAD     | 200              | 62,29           | 0,0528             | 1,25               | 0,14 |
| C155-C154 | PEAD     | 200              | 53,75           | 0,0424             | 1,16               | 0,14 |
| C154-C153 | PEAD     | 200              | 56,03           | 0,0066             | 0,60               | 0,16 |
| C153-C152 | PEAD     | 200              | 72,65           | 0,0301             | 1,19               | 0,14 |

Tabla 6. Características de los tramos. Continuación.

| ID        | Material | Diámetro<br>(mm) | Longitud<br>(m) | Pendiente<br>(m/m) | Velocidad<br>(m/s) | Y/D  |
|-----------|----------|------------------|-----------------|--------------------|--------------------|------|
| C152-C151 | PEAD     | 200              | 50,70           | 0,0246             | 1,17               | 0,16 |
| C151-C150 | PEAD     | 200              | 50,67           | 0,0053             | 0,71               | 0,25 |
| C150-C129 | PEAD     | 200              | 58,44           | 0,0078             | 0,86               | 0,25 |
| C149-C138 | PEAD     | 200              | 84,63           | 0,0412             | 1,14               | 0,14 |
| C148-C139 | PEAD     | 200              | 82,07           | 0,0395             | 1,13               | 0,14 |
| C147-C146 | PEAD     | 200              | 92,02           | 0,0654             | 1,34               | 0,14 |
| C146-C145 | PEAD     | 200              | 90,52           | 0,0065             | 0,64               | 0,17 |
| C145-C144 | PEAD     | 200              | 60,1            | 0,0286             | 1,16               | 0,14 |
| C144-C143 | PEAD     | 200              | 61,02           | 0,0403             | 1,40               | 0,14 |
| C143-C142 | PEAD     | 200              | 72,42           | 0,0041             | 0,67               | 0,28 |
| C142-C141 | PEAD     | 200              | 15,13           | 0,0040             | 0,67               | 0,29 |
| C141-C140 | PEAD     | 200              | 77,38           | 0,0226             | 1,3                | 0,20 |
| C140-C139 | PEAD     | 200              | 56,40           | 0,0200             | 1,29               | 0,22 |
| C139-C138 | PEAD     | 200              | 57,26           | 0,0026             | 0,66               | 0,42 |
| C138-C136 | PEAD     | 200              | 60,28           | 0,0135             | 1,26               | 0,30 |
| C137-C136 | PEAD     | 200              | 52,35           | 0,0040             | 0,50               | 0,18 |
| C136-C135 | PEAD     | 200              | 50,53           | 0,0017             | 0,61               | 0,58 |
| C135-C134 | PEAD     | 250              | 50,57           | 0,0016             | 0,60               | 0,43 |
| C134-C133 | PEAD     | 250              | 45,67           | 0,0015             | 0,60               | 0,45 |
| C133-C132 | PEAD     | 250              | 32,05           | 0,0015             | 0,61               | 0,46 |
| C132-C131 | PEAD     | 250              | 57,27           | 0,0045             | 0,91               | 0,35 |
| C131-C130 | PEAD     | 250              | 58,29           | 0,0357             | 1,93               | 0,21 |
| C130-C129 | PEAD     | 250              | 60,41           | 0,0200             | 1,60               | 0,25 |
| C129-C7   | PEAD     | 250              | 59,38           | 0,0037             | 0,95               | 0,47 |

Tabla 7. Características de los tramos. Continuación.

| 15        | <b>A A A A A A A A B A B A B A B A B A B B B B B B B B B B</b> | Diámetro | Longitud | Pendiente | Velocidad | V/D  |
|-----------|--|----------|----------|-----------|-----------|------|
| ID        | Material   | (mm)     | (m)      | (m/m)     | (m/s)     | Y/D  |
| C128-C127 | PEAD   | 200      | 92,04    | 0,0302    | 1,03      | 0,14 |
| C127-C8   | PEAD   | 200      | 92,04    | 0,0158    | 0,87      | 0,14 |
| C126-C125 | PEAD   | 200      | 59,05    | 0,0393    | 1,13      | 0,14 |
| C125-C9   | PEAD   | 200      | 59,98    | 0,0065    | 0,60      | 0,16 |
| C124-C9   | PEAD   | 200      | 84,71    | 0,0169    | 0,84      | 0,14 |
| C123-C122 | PEAD   | 200      | 58,26    | 0,0040    | 0,50      | 0,18 |
| C122-C121 | PEAD   | 200      | 59,44    | 0,0491    | 1,22      | 0,14 |
| C121-C120 | PEAD   | 200      | 59,44    | 0,0057    | 0,60      | 0,18 |
| C120-C119 | PEAD   | 200      | 51,74    | 0,00969   | 1,81      | 0,18 |
| C119-C13  | PEAD   | 200      | 51,75    | 0,0166    | 3,02      | 0,17 |
| C118-C104 | PEAD   | 200      | 97,41    | 0,0197    | 2,61      | 0,14 |
| C117-C116 | PEAD   | 200      | 69,37    | 0,0783    | 7,58      | 0,14 |
| C116-C115 | PEAD   | 200      | 69,37    | 0,0085    | 1,36      | 0,15 |
| C115-C114 | PEAD   | 200      | 55,98    | 0,0104    | 1,78      | 0,16 |
| C114-C113 | PEAD   | 200      | 97,9     | 0,006     | 1,38      | 0,22 |
| C113-C112 | PEAD   | 200      | 97,87    | 0,0149    | 3,2       | 0,21 |
| C112-C111 | PEAD   | 200      | 79,91    | 0,0035    | 1,12      | 0,33 |
| C111-C109 | PEAD   | 200      | 59,86    | 0,0516    | 9,67      | 0,18 |
| C110-C109 | PEAD   | 200      | 43,06    | 0,0251    | 3,14      | 0,14 |
| C109-C105 | PEAD   | 200      | 56,45    | 0,0422    | 8,91      | 0,2  |
| C108-C107 | PEAD   | 200      | 58,9     | 0,004     | 0,76      | 0,18 |
| C107-C106 | PEAD   | 200      | 36,16    | 0,004     | 0,76      | 0,18 |
| C106-C105 | PEAD   | 200      | 54,72    | 0,0497    | 5,34      | 0,14 |
| C105-C104 | PEAD   | 200      | 57,33    | 0,0018    | 0,8       | 0,55 |
| C104-C103 | PEAD   | 250      | 59,97    | 0,0234    | 6,63      | 0,22 |
| C103-C102 | PEAD   | 250      | 50,22    | 0,0015    | 0,77      | 0,47 |
| C102-C101 | PEAD   | 250      | 50,19    | 0,0015    | 0,76      | 0,49 |
| C101-C100 | PEAD   | 250      | 59,07    | 0,0026    | 1,24      | 0,42 |
| C100-C99  | PEAD   | 250      | 44,61    | 0,0014    | 0,77      | 0,52 |

Tabla 8. Características de los tramos. Continuación.

|         |          | Diámetro | Longitud | Pendiente | Velocidad | w/p  |
|---------|----------|----------|----------|-----------|-----------|------|
| ID      | Material | (mm)     | (m)      | (m/m)     | (m/s)     | Y/D  |
| C99-C13 | PEAD     | 250      | 51,42    | 0,0014    | 0,76      | 0,54 |
| C2-C1   | PEAD     | 500      | 81,83    | 0,0012    | 1,49      | 0,65 |
| C1-E0   | PEAD     | 500      | 68       | 0,0019    | 2,49      | 0,78 |
| C96-C95 | PEAD     | 200      | 69,63    | 0,1125    | 1,74      | 0,09 |
| C95-C94 | PEAD     | 200      | 64,65    | 0,0034    | 0,55      | 0,24 |
| C94-C91 | PEAD     | 200      | 64,68    | 0,0372    | 1,38      | 0,15 |
| C93-C92 | PEAD     | 200      | 53,24    | 0,0319    | 1,05      | 0,14 |
| C92-C91 | PEAD     | 200      | 51,65    | 0,0490    | 1,22      | 0,14 |
| C91-C89 | PEAD     | 200      | 38,10    | 0,0328    | 1,48      | 0,18 |
| C90-C89 | PEAD     | 200      | 97,10    | 0,0511    | 1,23      | 0,14 |
| C89-C88 | PEAD     | 200      | 95,12    | 0,0229    | 1,44      | 0,24 |
| C88-C87 | PEAD     | 200      | 60,95    | 0,0226    | 1,47      | 0,25 |
| C87-C71 | PEAD     | 200      | 60,95    | 0,0059    | 0,93      | 0,37 |
| C86-C85 | PEAD     | 200      | 63,31    | 0,0040    | 0,50      | 0,18 |
| C85-C84 | PEAD     | 200      | 63,31    | 0,0230    | 0,93      | 0,14 |
| C84-C83 | PEAD     | 200      | 47,25    | 0,0660    | 1,41      | 0,14 |
| C83-C82 | PEAD     | 200      | 30,07    | 0,0688    | 1,50      | 0,14 |
| C82-C81 | PEAD     | 200      | 17,97    | 0,0617    | 1,48      | 0,14 |
| C81-C80 | PEAD     | 200      | 17,73    | 0,0468    | 1,38      | 0,14 |
| C80-C79 | PEAD     | 200      | 71,41    | 0,0430    | 1,44      | 0,14 |
| C79-C73 | PEAD     | 200      | 71,41    | 0,0199    | 1,17      | 0,19 |
| C78-C77 | PEAD     | 200      | 98,65    | 0,0399    | 1,13      | 0,14 |
| C77-C76 | PEAD     | 200      | 98,68    | 0,0635    | 1,44      | 0,14 |
| C76-C75 | PEAD     | 200      | 80,98    | 0,0421    | 1,39      | 0,14 |
| C75-C74 | PEAD     | 200      | 80,98    | 0,0250    | 0,55      | 0,31 |
| C74-C73 | PEAD     | 200      | 78,33    | 0,0229    | 1,28      | 0,20 |
| C73-C72 | PEAD     | 200      | 74,15    | 0,0262    | 1,65      | 0,27 |
| C72-C71 | PEAD     | 200      | 78,42    | 0,0131    | 1,32      | 0,34 |
| C71-C14 | PEAD     | 315      | 55,47    | 0,0025    | 0,83      | 0,39 |
| C70-C69 | PEAD     | 200      | 83,68    | 0,0302    | 1,03      | 0,14 |
| C69-C68 | PEAD     | 200      | 65,33    | 0,0312    | 1,04      | 0,14 |
| C68-C14 | PEAD     | 200      | 75,81    | 0,0408    | 1,29      | 0,14 |

Tabla 9. Características de los tramos. Continuación.

|         |          | Diámetro | Longitud | Pendiente | Velocidad | v/5  |
|---------|----------|----------|----------|-----------|-----------|------|
| ID      | Material | (mm)     | (m)      | (m/m)     | (m/s)     | Y/D  |
| C67-C66 | PEAD     | 200      | 64,70    | 0,0543    | 1,26      | 0,14 |
| C66-C65 | PEAD     | 200      | 64,70    | 0,0397    | 1,13      | 0,14 |
| C65-C64 | PEAD     | 200      | 65,48    | 0,0238    | 1,02      | 0,14 |
| C64-C63 | PEAD     | 200      | 65,52    | 0,0465    | 1,41      | 0,14 |
| C63-C62 | PEAD     | 200      | 69,07    | 0,0334    | 1,34      | 0,16 |
| C62-C16 | PEAD     | 200      | 69,07    | 0,0094    | 0,91      | 0,23 |
| C61-C60 | PEAD     | 200      | 65,17    | 0,0040    | 0,50      | 0,18 |
| C60-C59 | PEAD     | 200      | 65,20    | 0,0058    | 0,57      | 0,16 |
| C59-C58 | PEAD     | 200      | 66,33    | 0,0418    | 1,25      | 0,14 |
| C58-C57 | PEAD     | 200      | 66,33    | 0,0918    | 1,79      | 0,14 |
| C57-C56 | PEAD     | 200      | 76,83    | 0,0255    | 1,23      | 0,17 |
| C56-C17 | PEAD     | 200      | 76,8     | 0,0376    | 1,50      | 0,17 |
| C55-C54 | PEAD     | 200      | 93,03    | 0,0656    | 1,35      | 0,14 |
| C54-C53 | PEAD     | 200      | 65,45    | 0,0603    | 1,33      | 0,14 |
| C53-C44 | PEAD     | 200      | 65,48    | 0,0215    | 1,03      | 0,14 |
| C52-C51 | PEAD     | 200      | 74,63    | 0,0764    | 1,42      | 0,14 |
| C51-C50 | PEAD     | 200      | 74,66    | 0,0583    | 1,29      | 0,14 |
| C50-C45 | PEAD     | 200      | 7,31     | 0,0064    | 0,60      | 0,16 |
| C49-C48 | PEAD     | 200      | 62,10    | 0,0535    | 1,25      | 0,14 |
| C48-C47 | PEAD     | 200      | 49,91    | 0,0611    | 1,31      | 0,14 |
| C47-C46 | PEAD     | 200      | 29,51    | 0,0152    | 0,81      | 0,14 |
| C46-C45 | PEAD     | 200      | 29,36    | 0,0059    | 0,60      | 0,17 |
| C45-C44 | PEAD     | 200      | 54,94    | 0,0030    | 0,60      | 0,30 |
| C44-C43 | PEAD     | 200      | 65,91    | 0,0020    | 0,60      | 0,46 |
| C43-C42 | PEAD     | 200      | 65,91    | 0,0183    | 1,38      | 0,27 |
| C42-C41 | PEAD     | 200      | 58,98    | 0,0383    | 1,83      | 0,23 |
| C41-C40 | PEAD     | 250      | 50,08    | 0,0428    | 2,07      | 0,20 |
| C40-C18 | PEAD     | 250      | 50,08    | 0,0188    | 1,56      | 0,26 |
| C39-C20 | PEAD     | 200      | 82,39    | 0,0170    | 0,84      | 0,14 |
| C38-C36 | PEAD     | 200      | 29,61    | 0,0203    | 0,89      | 0,14 |
| C37-C36 | PEAD     | 200      | 34,03    | 0,0773    | 1,42      | 0,14 |
| C36-C21 | PEAD     | 200      | 83,2     | 0,0304    | 1,03      | 0,14 |

Tabla 10. Características de los tramos. Continuación.

|         |          | Diámetro | Longitud | Pendiente | Velocidad | v/5  |
|---------|----------|----------|----------|-----------|-----------|------|
| ID      | Material | (mm)     | (m)      | (m/m)     | (m/s)     | Y/D  |
| C35-C34 | PEAD     | 200      | 66,64    | 0,0040    | 0,50      | 0,18 |
| C34-C22 | PEAD     | 200      | 66,64    | 0,0065    | 0,60      | 0,16 |
| C33-C32 | PEAD     | 200      | 47,82    | 0,0600    | 1,30      | 0,09 |
| C32-C31 | PEAD     | 200      | 37,81    | 0,0040    | 0,50      | 0,18 |
| C31-C30 | PEAD     | 200      | 14,13    | 0,0040    | 0,50      | 0,18 |
| C30-C29 | PEAD     | 200      | 84,12    | 0,0179    | 0,91      | 0,14 |
| C29-C28 | PEAD     | 200      | 95,89    | 0,0181    | 1,03      | 0,17 |
| C28-C25 | PEAD     | 200      | 74,42    | 0,0087    | 0,86      | 0,22 |
| C27-C26 | PEAD     | 200      | 53,58    | 0,0177    | 0,85      | 0,12 |
| C26-C25 | PEAD     | 200      | 96,91    | 0,0065    | 0,60      | 0,16 |
| C25-C22 | PEAD     | 200      | 41,28    | 0,0023    | 0,60      | 0,39 |
| C24-C23 | PEAD     | 200      | 73,62    | 0,0040    | 0,50      | 0,18 |
| C23-C22 | PEAD     | 200      | 77,85    | 0,0065    | 0,60      | 0,16 |
| C22-C21 | PEAD     | 200      | 43,63    | 0,0017    | 0,60      | 0,57 |
| C21-C20 | PEAD     | 250      | 69,33    | 0,0014    | 0,60      | 0,48 |
| C20-C19 | PEAD     | 250      | 73,18    | 0,0083    | 1,18      | 0,32 |
| C19-C18 | PEAD     | 250      | 36,83    | 0,0263    | 1,80      | 0,24 |
| C18-C17 | PEAD     | 315      | 21,03    | 0,0861    | 3,23      | 0,18 |
| C17-C16 | PEAD     | 315      | 59,41    | 0,0097    | 1,56      | 0,35 |
| C16-C15 | PEAD     | 315      | 46,66    | 0,0101    | 1,67      | 0,37 |
| C15-C14 | PEAD     | 315      | 59,23    | 0,0012    | 0,73      | 0,72 |
| C14-C13 | PEAD     | 400      | 78,40    | 0,0012    | 0,84      | 0,64 |
| C13-C10 | PEAD     | 400      | 57,04    | 0,0012    | 0,87      | 0,78 |
| C12-C10 | PEAD     | 200      | 81,36    | 0,0111    | 0,72      | 0,14 |
| C11-C10 | PEAD     | 200      | 45,13    | 0,0040    | 0,50      | 0,18 |
| C10-C9  | PEAD     | 400      | 58,46    | 0,0012    | 0,87      | 0,80 |
| C9-C8   | PEAD     | 500      | 58,08    | 0,0015    | 0,99      | 0,50 |
| C8-C7   | PEAD     | 500      | 58,1     | 0,0146    | 2,28      | 0,28 |
| C7-C6   | PEAD     | 500      | 24,35    | 0,0012    | 0,96      | 0,63 |
| C6-C5   | PEAD     | 500      | 30,41    | 0,0089    | 2,04      | 0,35 |
| C5-C4   | PEAD     | 500      | 81,87    | 0,0012    | 0,96      | 0,64 |
| C4-C3   | PEAD     | 500      | 81,87    | 0,0012    | 0,97      | 0,64 |
| C3-C2   | PEAD     | 500      | 81,87    | 0,0012    | 0,97      | 0,64 |

Tabla 11. Características de los tramos. Continuación.

|         |          | Diámetro | Longitud | Pendiente | Velocidad |      |
|---------|----------|----------|----------|-----------|-----------|------|
| ID      | Material | (mm)     | (m)      | (m/m)     | (m/s)     | Y/D  |
| B62-B61 | PEAD     | 200      | 69,81    | 0,1130    | 1,63      | 0,08 |
| B61-B60 | PEAD     | 200      | 59,87    | 0,0409    | 1,14      | 0,14 |
| B60-B59 | PEAD     | 200      | 60,48    | 0,0278    | 1,04      | 0,14 |
| B59-B58 | PEAD     | 200      | 79,8     | 0,0082    | 0,75      | 0,19 |
| B58-B57 | PEAD     | 200      | 64,54    | 0,0259    | 1,2       | 0,16 |
| B57-B56 | PEAD     | 200      | 81,43    | 0,0172    | 1,11      | 0,2  |
| B56-B55 | PEAD     | 200      | 57,29    | 0,0098    | 0,94      | 0,24 |
| B55-B1  | PEAD     | 200      | 57,10    | 0,0609    | 1,86      | 0,16 |
| B54-B40 | PEAD     | 200      | 54,11    | 0,0330    | 1,06      | 0,14 |
| B53-B52 | PEAD     | 200      | 69,6     | 0,1070    | 1,6       | 0,14 |
| B52-B51 | PEAD     | 200      | 69,57    | 0,0379    | 1,11      | 0,14 |
| B51-B50 | PEAD     | 200      | 69,60    | 0,0230    | 1         | 0,14 |
| B50-B49 | PEAD     | 200      | 69,60    | 0,0635    | 1,55      | 0,14 |
| B49-B43 | PEAD     | 200      | 52,64    | 0,0260    | 1,21      | 0,16 |
| B48-B47 | PEAD     | 200      | 82,71    | 0,369     | 2,46      | 0,14 |
| B47-B46 | PEAD     | 200      | 82,71    | 0,0531    | 1,25      | 0,14 |
| B46-B45 | PEAD     | 200      | 82,71    | 0,0278    | 1,12      | 0,14 |
| B45-B44 | PEAD     | 200      | 82,68    | 0,0167    | 1,02      | 0,18 |
| B44-B43 | PEAD     | 200      | 61,38    | 0,0608    | 1,69      | 0,14 |
| B43-B41 | PEAD     | 200      | 82,88    | 0,0035    | 0,75      | 0,41 |
| B42-B41 | PEAD     | 200      | 53,16    | 0,0295    | 1,02      | 0,11 |
| B41-B40 | PEAD     | 200      | 56,64    | 0,0510    | 2,05      | 0,22 |
| B40-B3  | PEAD     | 250      | 55,09    | 0,0013    | 0,56      | 0,45 |
| B39-B38 | PEAD     | 200      | 90,93    | 0,0985    | 1,55      | 0,14 |
| B38-B37 | PEAD     | 200      | 90,96    | 0,0345    | 1,1       | 0,14 |
| B37-B36 | PEAD     | 200      | 73,98    | 0,0035    | 0,55      | 0,23 |
| B36-B35 | PEAD     | 200      | 74,01    | 0,0055    | 0,69      | 0,23 |
| B35-B34 | PEAD     | 200      | 61,78    | 0,0100    | 2,02      | 0,14 |
| B34-B33 | PEAD     | 200      | 62,82    | 0,0026    | 0,58      | 0,33 |
| B33-B12 | PEAD     | 200      | 62,82    | 0,0064    | 0,83      | 0,28 |
| B32-B31 | PEAD     | 200      | 90,36    | 0,0632    | 1,33      | 0,14 |
| B31-B30 | PEAD     | 200      | 90,33    | 0,0455    | 1,19      | 0,14 |
| B30-B29 | PEAD     | 200      | 84,43    | 0,0296    | 1,17      | 0,14 |
| B29-B28 | PEAD     | 200      | 86,07    | 0,0395    | 1,41      | 0,15 |
| B28-B13 | PEAD     | 200      | 86,07    | 0,0135    | 1,03      | 0,21 |

Tabla 12. Características de los tramos. Continuación.

|         |          | Diámetro | Longitud | Pendiente | Velocidad |      |
|---------|----------|----------|----------|-----------|-----------|------|
| ID      | Material | (mm)     | (m)      | (m/m)     | (m/s)     | Y/D  |
| B27-B26 | PEAD     | 200      | 69,54    | 0,0493    | 1,22      | 0,14 |
| B26-B25 | PEAD     | 200      | 49,97    | 0,0040    | 0,5       | 0,18 |
| B25-B24 | PEAD     | 200      | 50       | 0,0710    | 1,39      | 0,14 |
| B24-B23 | PEAD     | 200      | 49,97    | 0,0220    | 1         | 0,14 |
| B23-B22 | PEAD     | 200      | 49,97    | 0,0054    | 0,65      | 0,21 |
| B22-B21 | PEAD     | 200      | 48,00    | 0,0283    | 1,22      | 0,15 |
| B21-B14 | PEAD     | 200      | 65,95    | 0,0294    | 1,3       | 0,16 |
| B20-B19 | PEAD     | 200      | 52,71    | 0,0607    | 1,31      | 0,14 |
| B19-B18 | PEAD     | 200      | 68,17    | 0,0537    | 1,25      | 0,14 |
| B18-B17 | PEAD     | 200      | 68,17    | 0,0277    | 1,03      | 0,14 |
| B17-B16 | PEAD     | 200      | 68,17    | 0,0214    | 1,04      | 0,15 |
| B16-B15 | PEAD     | 200      | 68,20    | 0,0089    | 0,82      | 0,2  |
| B15-B14 | PEAD     | 200      | 82,16    | 0,0385    | 1,46      | 0,16 |
| B14-B13 | PEAD     | 200      | 72,16    | 0,0143    | 1,28      | 0,3  |
| B13-B12 | PEAD     | 200      | 61,77    | 0,0060    | 1,06      | 0,48 |
| B12-B4  | PEAD     | 315      | 57,85    | 0,0010    | 0,63      | 0,47 |
| B11-B10 | PEAD     | 200      | 80,25    | 0,1191    | 1,66      | 0,14 |
| B10-B9  | PEAD     | 200      | 59,09    | 0,0040    | 0,5       | 0,18 |
| B9-B8   | PEAD     | 200      | 83,36    | 0,0040    | 0,55      | 0,21 |
| B8-B7   | PEAD     | 200      | 83,33    | 0,0380    | 1,34      | 0,14 |
| B7-B6   | PEAD     | 200      | 71,60    | 0,0704    | 1,76      | 0,14 |
| B6-B5   | PEAD     | 200      | 58,63    | 0,0020    | 0,52      | 0,35 |
| B5-B4   | PEAD     | 200      | 58,60    | 0,0021    | 0,55      | 0,36 |
| B4-B3   | PEAD     | 315      | 59,88    | 0,0010    | 0,67      | 0,54 |
| B3-B2   | PEAD     | 400      | 59,10    | 0,0060    | 0,73      | 0,46 |
| B2-B1   | PEAD     | 400      | 60,54    | 0,0060    | 0,74      | 0,46 |
| B1-D0   | PEAD     | 400      | 54,71    | 0,0060    | 0,77      | 0,5  |
| A43-A42 | PEAD     | 200      | 51,17    | 0,061     | 1,31      | 0,14 |
| A42-A41 | PEAD     | 200      | 38,02    | 0,0066    | 0,64      | 0,17 |
| A41-A40 | PEAD     | 200      | 60,77    | 0,0138    | 0,9       | 0,17 |
| A40-A39 | PEAD     | 200      | 60,76    | 0,0291    | 1,24      | 0,15 |
| A39-A38 | PEAD     | 200      | 64,79    | 0,0395    | 1,45      | 0,15 |
| A38-A1  | PEAD     | 200      | 70,66    | 0,0382    | 1,51      | 0,17 |
| A37-A36 | PEAD     | 200      | 48,74    | 0,0934    | 1,52      | 0,14 |
| A36-A35 | PEAD     | 200      | 61,66    | 0,0605    | 1,31      | 0,14 |

Tabla 13. Características de los tramos. Continuación.

|         |          | Diámetro | Longitud | Pendiente | Velocidad |      |
|---------|----------|----------|----------|-----------|-----------|------|
| ID      | Material | (mm)     | (m)      | (m/m)     | (m/s)     | Y/D  |
| A35-A34 | PEAD     | 200      | 59,19    | 0,0426    | 1,16      | 0,14 |
| A34-A33 | PEAD     | 200      | 92,16    | 0,036     | 1,25      | 0,14 |
| A33-A32 | PEAD     | 200      | 53,65    | 0,0274    | 1,2       | 0,15 |
| A32-A2  | PEAD     | 250      | 82,75    | 0,0196    | 1,11      | 0,14 |
| A31-A30 | PEAD     | 200      | 93,31    | 0,082     | 1,45      | 0,14 |
| A30-A29 | PEAD     | 200      | 93,28    | 0,0715    | 1,44      | 0,14 |
| A29-A28 | PEAD     | 200      | 71,78    | 0,056     | 1,45      | 0,14 |
| A28-A4  | PEAD     | 200      | 71,75    | 0,0145    | 0,97      | 0,18 |
| A27-A26 | PEAD     | 200      | 54,57    | 0,0805    | 1,44      | 0,14 |
| A26-A25 | PEAD     | 200      | 54,58    | 0,1263    | 1,69      | 0,14 |
| A25-A24 | PEAD     | 200      | 54,61    | 0,0163    | 0,83      | 0,14 |
| A24-A23 | PEAD     | 200      | 54,57    | 0,0478    | 1,31      | 0,14 |
| A23-A22 | PEAD     | 200      | 54,37    | 0,0416    | 1,33      | 0,14 |
| A22-A5  | PEAD     | 200      | 54,4     | 0,0375    | 1,35      | 0,14 |
| A21-A20 | PEAD     | 200      | 25,97    | 0,1032    | 1,58      | 0,14 |
| A20-A19 | PEAD     | 200      | 59,32    | 0,0035    | 0,48      | 0,18 |
| A19-A18 | PEAD     | 200      | 59,34    | 0,0035    | 0,48      | 0,18 |
| A18-A13 | PEAD     | 200      | 63,4     | 0,0123    | 0,8       | 0,15 |
| A17-A16 | PEAD     | 200      | 87,95    | 0,0066    | 0,6       | 0,16 |
| A16-A15 | PEAD     | 200      | 83,61    | 0,0035    | 0,49      | 0,19 |
| A15-A14 | PEAD     | 200      | 56,11    | 0,0035    | 0,53      | 0,22 |
| A14-A13 | PEAD     | 200      | 64,97    | 0,0035    | 0,57      | 0,24 |
| A13-A12 | PEAD     | 200      | 18,53    | 0,0311    | 1,45      | 0,19 |
| A12-A11 | PEAD     | 200      | 40,71    | 0,0077    | 1,38      | 0,76 |
| A11-A10 | PEAD     | 200      | 64,01    | 0,0434    | 2,72      | 0,44 |
| A10-A9  | PEAD     | 200      | 64,04    | 0,0623    | 3,12      | 0,4  |
| A9-A8   | PEAD     | 200      | 64,04    | 0,0406    | 2,68      | 0,45 |
| A8-A7   | PEAD     | 200      | 64,01    | 0,0195    | 2,05      | 0,57 |
| A7-A6   | PEAD     | 200      | 86,93    | 0,0757    | 3,41      | 0,39 |
| A6-A5   | PEAD     | 250      | 79,01    | 0,0033    | 1,04      | 0,74 |
| A5-A4   | PEAD     | 250      | 60,42    | 0,016     | 1,97      | 0,47 |
| A4-A3   | PEAD     | 315      | 40,38    | 0,0171    | 2,05      | 0,34 |
| A3-A2   | PEAD     | 315      | 67,99    | 0,013     | 1,86      | 0,37 |
| A2-A1   | PEAD     | 315      | 78,35    | 0,0107    | 1,79      | 0,41 |
| A1-D0   | PEAD     | 315      | 84,27    | 0,006     | 1,48      | 0,52 |

Tabla 14. Características de los tramos. Continuación.

|         |          | Diámetro | Longitud | Pendiente | Velocidad | v/5  |
|---------|----------|----------|----------|-----------|-----------|------|
| ID      | Material | (mm)     | (m)      | (m/m)     | (m/s)     | Y/D  |
| D7-D6   | PEAD     | 200      | 89,67    | 0,0619    | 1,32      | 0,14 |
| D6-D5   | PEAD     | 200      | 61,08    | 0,0354    | 1,08      | 0,14 |
| D5-D4   | PEAD     | 200      | 61,08    | 0,0226    | 1         | 0,14 |
| D4-D3   | PEAD     | 200      | 61,08    | 0,0054    | 0,65      | 0,21 |
| D3-D2   | PEAD     | 200      | 61,08    | 0,0473    | 1,48      | 0,14 |
| D2-D1   | PEAD     | 200      | 97,18    | 0,0312    | 1,38      | 0,17 |
| D1-D0   | PEAD     | 200      | 97,18    | 0,0314    | 1,47      | 0,19 |
| F24-F23 | PEAD     | 200      | 64,14    | 0,0135    | 0,78      | 0,14 |
| F23-F22 | PEAD     | 200      | 73,75    | 0,0065    | 0,60      | 0,16 |
| F22-F21 | PEAD     | 200      | 61,29    | 0,0189    | 0,92      | 0,14 |
| F21-F20 | PEAD     | 200      | 56,03    | 0,0371    | 1,25      | 0,14 |
| F20-F11 | PEAD     | 200      | 85,80    | 0,0094    | 0,84      | 0,21 |
| F19-F15 | PEAD     | 200      | 87,30    | 0,0537    | 1,25      | 0,14 |
| F18-F17 | PEAD     | 200      | 51,80    | 0,0452    | 1,18      | 0,14 |
| F17-F16 | PEAD     | 200      | 38,83    | 0,0242    | 0,95      | 0,14 |
| F16-F15 | PEAD     | 200      | 49,12    | 0,0065    | 0,60      | 0,16 |
| F15-F14 | PEAD     | 200      | 81,34    | 0,0105    | 0,85      | 0,19 |
| F14-F13 | PEAD     | 200      | 81,37    | 0,0087    | 0,85      | 0,22 |
| F13-F12 | PEAD     | 200      | 81,37    | 0,0034    | 0,65      | 0,31 |
| F11-F4  | PEAD     | 200      | 30,63    | 0,0400    | 1,90      | 0,23 |
| F10-F9  | PEAD     | 200      | 84,73    | 0,0040    | 0,50      | 0,18 |
| F9-F8   | PEAD     | 200      | 91,90    | 0,0361    | 1,11      | 0,14 |
| F8-F7   | PEAD     | 200      | 91,92    | 0,0492    | 1,40      | 0,14 |
| F7-F6   | PEAD     | 200      | 91,92    | 0,0109    | 0,9       | 0,2  |
| F6-F5   | PEAD     | 200      | 73,71    | 0,0040    | 0,67      | 0,29 |
| F5-F4   | PEAD     | 200      | 73,78    | 0,0040    | 0,70      | 0,31 |
| F4-F3   | PEAD     | 250      | 70,93    | 0,0013    | 0,61      | 0,57 |
| F3-F2   | PEAD     | 250      | 70,93    | 0,0263    | 1,85      | 0,26 |
| F2-F1   | PEAD     | 315      | 89,27    | 0,0194    | 1,89      | 0,26 |
| F1-F0   | PEAD     | 315      | 89,26    | 0,0035    | 1,03      | 0,42 |